

Séries temporelles : TD et Examens

2024-12-11

Contents

1	Avants propos, notions cours et codes associés :	3
1.1	Le type ts ‘time series’ :	3
1.1.1	Exemples et création :	3
1.1.2	Décomposition d’une série temporelle :	4
1.2	Simulation de processus :	5
1.2.1	Simulation ARMA(2,1) :	5
1.3	Fonctions d’autocorrélation et d’autocovariance :	6
1.4	Etude d’un bruit blanc :	8
1.4.1	Fonctions d’autocorrélation et d’autocovariance :	8
1.4.2	Tests statistiques sur le bruit blanc :	9
1.5	Simulation d’un modèle AR(p) :	10
1.5.1	Simulation d’un processus AR(3) :	10
1.5.2	Calcul de la fonction d’autocorrélation théorique :	11
1.5.3	Ajustement d’un modèle AR(p) avec ou sans connaissance de p :	12
1.5.4	Simulation d’un processus AR(3) non-centré :	12
1.5.5	Ajustement d’un modèle AR(p) avec la fonction arima :	13
1.5.6	Intervalle de prédiction du modèle AR(3) :	13
1.5.7	Prédiction d’un modèle AR(3) :	13
1.6	Modélisation ARMA(p,q) :	14
1.6.1	Ajustement d’un modèle ARMA(p,q) quand p et q sont connus :	14
1.6.2	Ajustement d’un modèle ARMA(p,q) quand p et q sont inconnus :	15
1.6.3	La prédiction des modélisations ARMA(p,q) :	17
1.6.4	Vérification de la stationnarité d’un processus ARMA(p,q) :	18
1.6.5	Fonction auto-corrélation d’un processus ARMA(p,q) :	19
1.7	Modélisation de composantes non stationnaires :	20
1.7.1	Simulation ARMA non stationnaires :	20
1.7.2	Stationnarisation possible, la différence première :	21
1.8	Illustration des séries temporelles avec de la saisonnalité :	23
1.8.1	Série temporelle avec saisonnalité et sans tendance :	23
1.8.2	Série temporelle avec saisonnalité et tendance :	25
1.8.3	Série sans saisonnalité et sans tendance :	26
1.9	Modèles paramétriques saisonniers :	27
1.9.1	Stabilisation du cycle saisonnier par application du log :	28
1.9.2	Estimation des paramètres de la saisonnalité :	29
1.9.3	Vérification du choix d’estimation de la composante saisonnière :	30
1.10	Lissage non paramétrique :	32
1.10.1	Décomposition de la série temporelle, méthode des moyennes mobiles :	33
1.10.2	Décomposition de la série temporelle, méthode STL :	35
2	Travaux dirigés	37
2.1	Exercice 1: Simulation de différents processus :	37
2.1.1	Simulation MA(1) :	37
2.1.2	Simulation d’une marche aléatoire :	39

2.1.3	Simulation du troisième processus :	42
2.1.4	Simulation du processus D :	45
2.1.5	Simulation du processus E :	47
2.2	Exercice 2 :	49
2.2.1	Fonction autocorrélation théorique :	49
2.2.2	Simulation du processus en utilisant la fonction intégrée :	50
2.3	Exercice 3 :	51
2.3.1	Fonction de simulation d'un processus Ar(1):	51
2.3.2	Simulation du processus :	51
2.4	Exercice 5 :	53
2.4.1	Simulation du bruit blanc :	53
2.4.2	Vérification que $\sqrt{T} \times \hat{\rho}(h) \sim \mathcal{N}(0, 1)$:	53
2.4.3	L'intervalle de confiance à 95% des coefficients d'auto-corrélation :	55
2.4.4	Vérification sur une simulation MA(1) :	55
2.4.5	Vérifier que $\hat{\rho}(1)$ n'est plus dans l'intervalle pour un MA(1) :	56
2.4.6	Test de normalité des rendements dans la modélisation de Black-Scholes :	56
2.5	Exercice 6 :	61
2.5.1	Créer une fonction d'estimation du maximum de vraisemblance associé à la série temporelle :	62
2.5.2	Etude sur les estimateurs par simulation :	62
2.5.3	Création d'une fonction de prédiction pour le modèle AR(1) :	65
2.5.4	Simulation et prédiction : (A reprendre simplification possible dans le code)	65
2.6	Exercice 7 :	66
2.6.1	Trouver les racines d'un polynôme caractéristique :	66
2.6.2	Calcul de l'ACF avec Yule-Walker à l'aide du système d'équations :	66
2.6.3	Simulation et comparaison sur la fonction d'autocorrélation :	66
2.6.4	Création d'une fonction d'estimation Yule-Walker pour un modèle AR(2) :	67
2.7	Exercice 8 : Modélisation de taux de Vasicek :	67
2.7.1	Création d'un objet ts avec les données EURIBOR :	68
2.7.2	Séparation des données train et test :	69
2.7.3	Fonction d'autocorrélation sur la séquence d'apprentissage	69
2.7.4	Ajustement d'un modèle AR(1) sur la séquence d'apprentissage :	70
2.7.5	Test sur les résidus empiriques :	71
2.7.6	Prévision sur la séquence de test :	73
2.8	Exercice 9 :	74
2.8.1	Calcul de l'autocovariance à partir des paramètres :	74
2.8.2	Calcul de l'autocovariance par simulation :	75
2.8.3	Ajustements par la méthode des moments:	75

3 Annales :

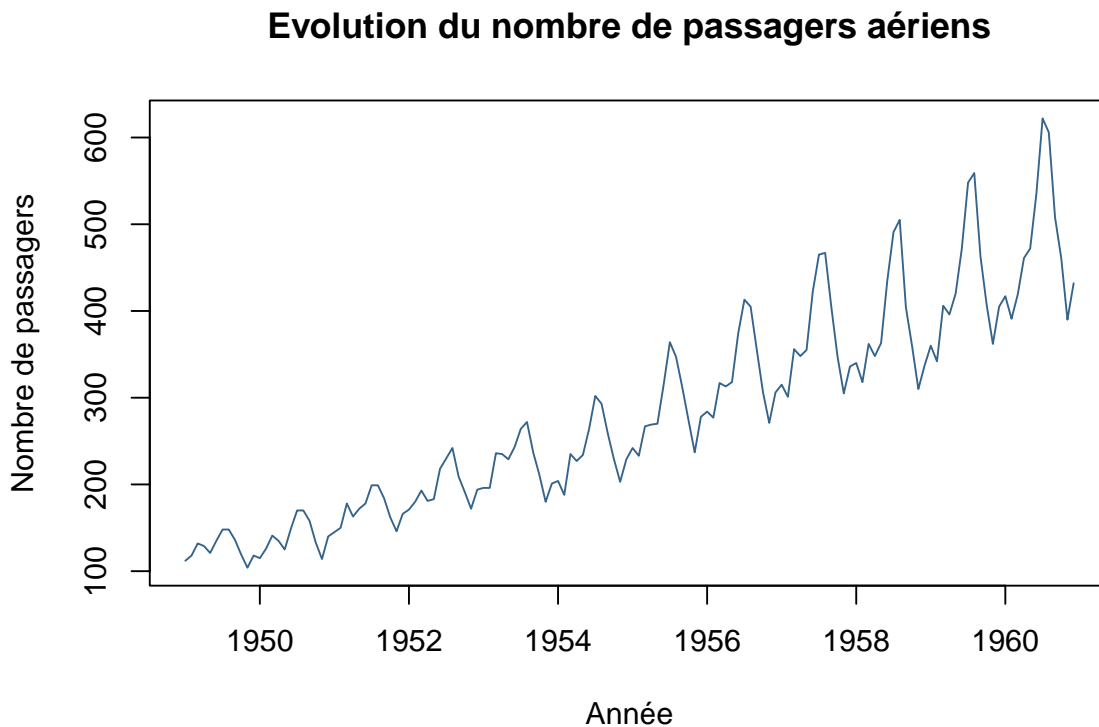
76

1 Avants propos, notions cours et codes associés :

1.1 Le type ts 'time series' :

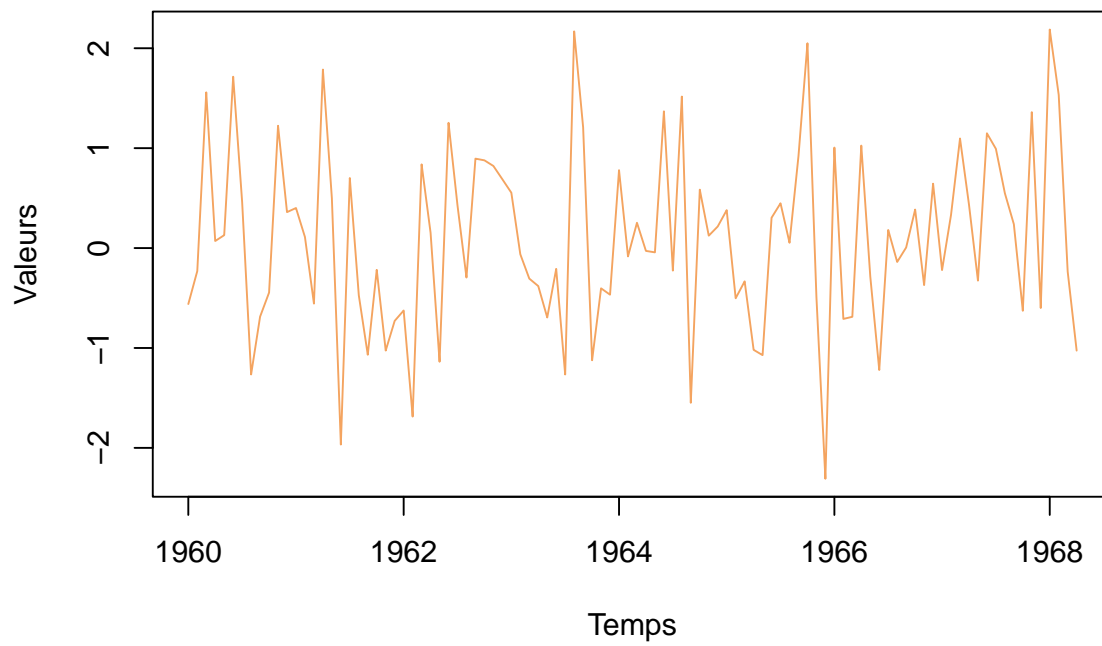
1.1.1 Exemples et création :

```
# Exemple de série temporelle :  
plot(  
  AirPassengers,  
  main = "Evolution du nombre de passagers aériens",  
  ylab = "Nombre de passagers",  
  xlab = "Année",  
  type = "l",  
  col = palette_couleur[1]  
)
```



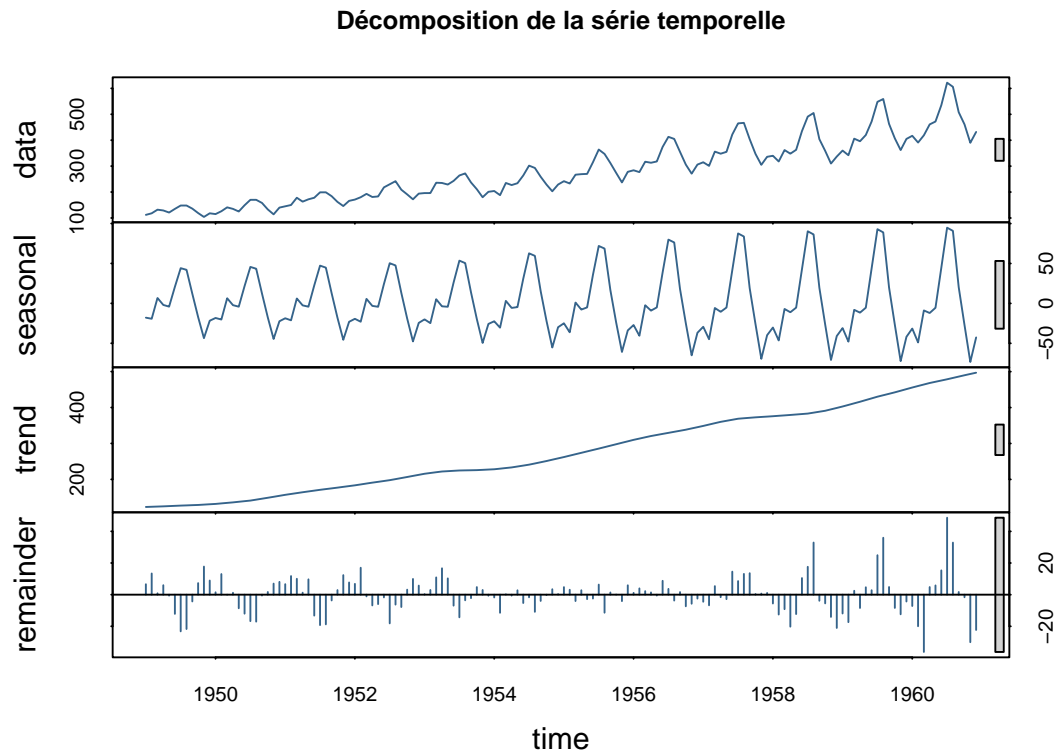
```
# Création d'un objet time série aléatoire :  
  
serie_temp = ts(rnorm(100), start = c(1960, 1), frequency = 12)  
plot(  
  serie_temp,  
  main = "Série temporelle aléatoire",  
  ylab = "Valeurs",  
  xlab = "Temps",  
  type = "l",  
  col = palette_couleur[2]  
)
```

Série temporelle aléatoire



1.1.2 Décomposition d'une série temporelle :

```
plot(  
  stl(AirPassengers, s.window = 12),  
  main = "Décomposition de la série temporelle",  
  col = palette_couleur[1],  
  lwd = 1  
)
```



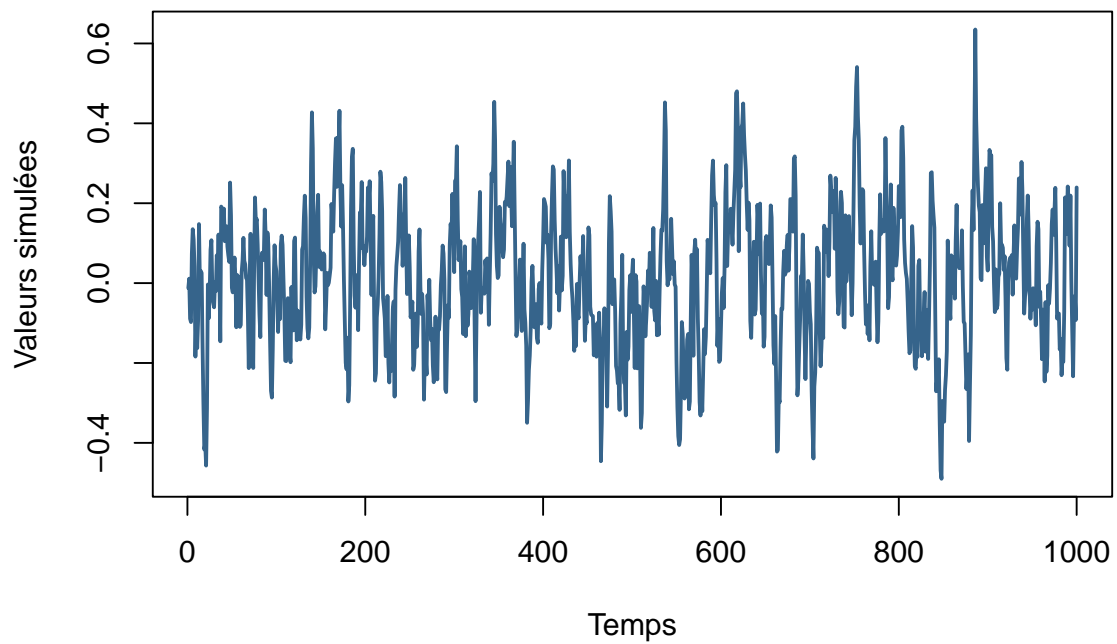
```
# s.window = 12 : période de saisonnalité (nb de mois)
```

1.2 Simulation de processus :

1.2.1 Simulation ARMA(2,1) :

```
alpha = c(.5, .2) #paramètres AR
beta = .5 #paramètres MA
sig = .1 #écart-type du bruit
Time = 1000 #longueur de la série temporelle
x = arima.sim(model = list(ar = alpha, ma = beta),
               sd = sig,
               n = Time) #simulation modèle ARMA
plot(x, type = "l", col = palette_couleur[1], lwd = 2,
     main = "Simulation d'un processus ARMA(2,1)",
     ylab = "Valeurs simulées", xlab = "Temps")
```

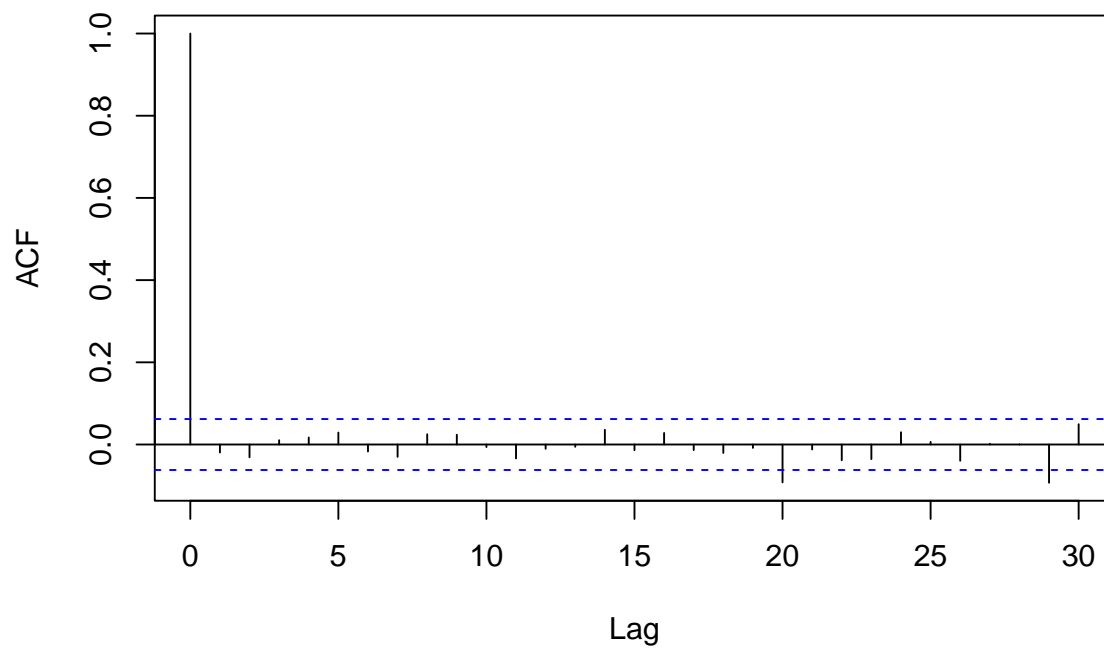
Simulation d'un processus ARMA(2,1)



1.3 Fonctions d'autocorrélation et d'autocovariance :

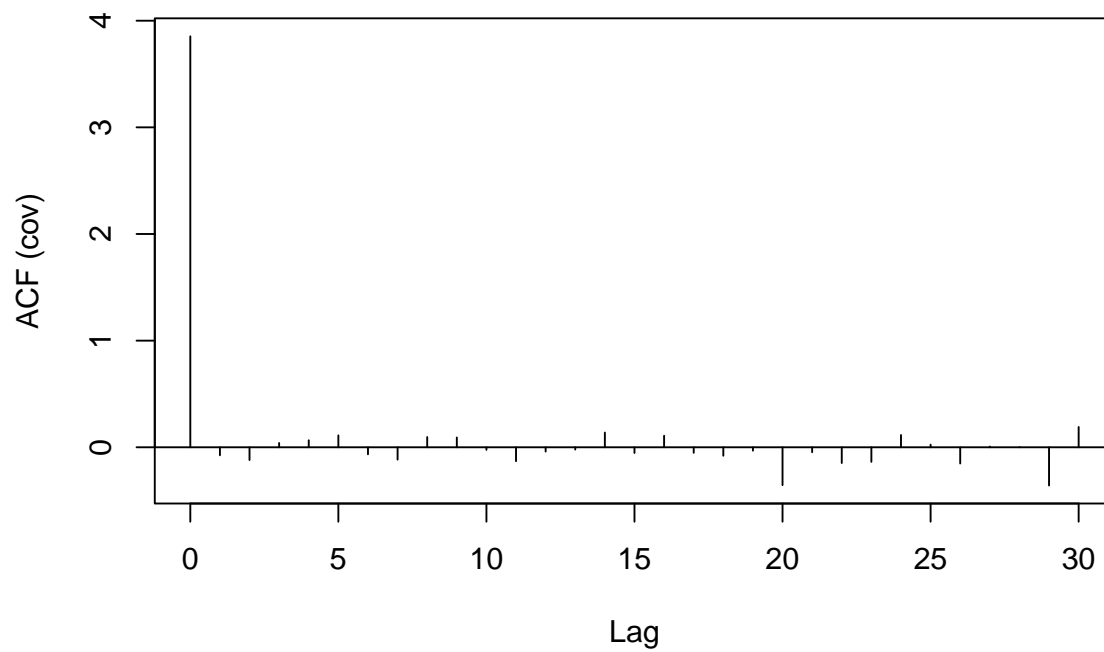
```
Time = 1000
x = 2 * rnorm(Time) #simulation d'un bruit blanc gaussien
acf(x, main = "Fonction autocorrélation")
```

Fonction autocorrélation



```
acf(x, type = 'covariance', main = "Fonction autocovariance")
```

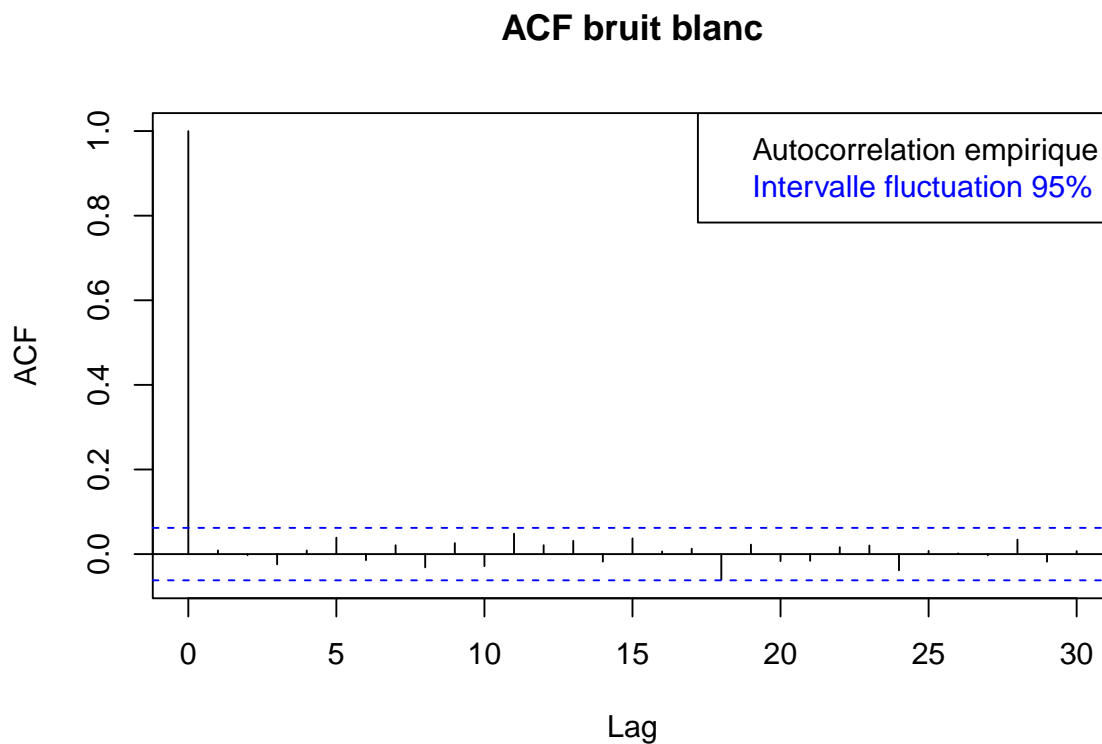
Fonction autocovariance



1.4 Etude d'un bruit blanc :

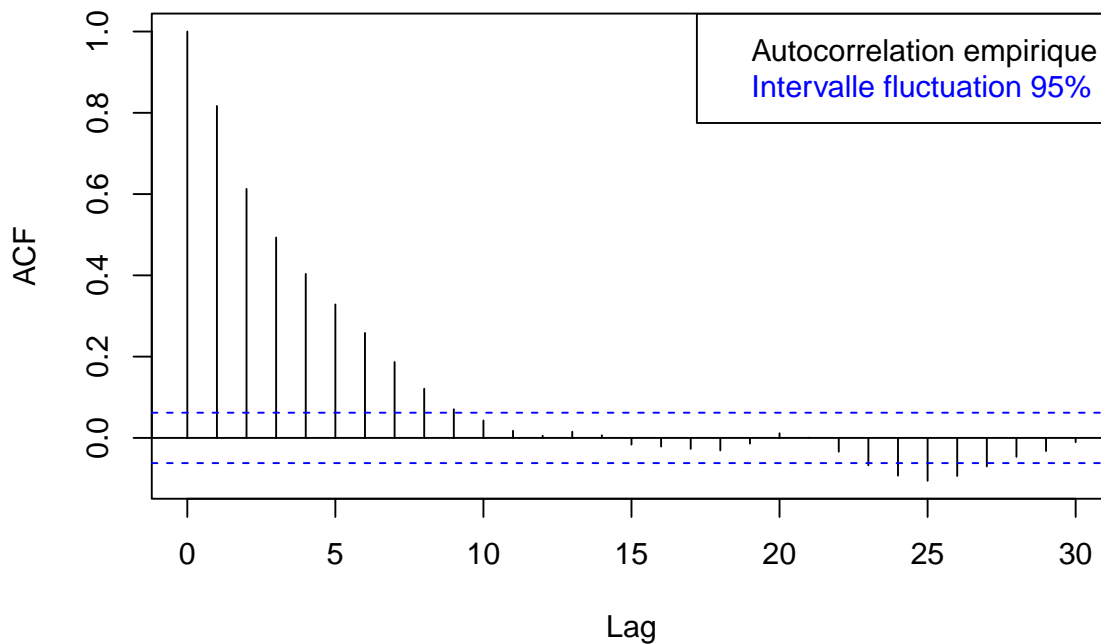
1.4.1 Fonctions d'autocorrélation et d'autocovariance :

```
# Simulation bruit blanc gaussien :  
Time = 1000  
bbg = rnorm(Time)  
  
acf(bbg, main = 'ACF bruit blanc')  
legend(  
  'topright',  
  c('Autocorrelation empirique', 'Intervalle fluctuation 95%'),  
  text.col = c('black', 'blue'))
```



```
x = arima.sim(model = list(ar = c(.5, .2), ma = .5),  
              sd = .1,  
              n = Time)  
acf(x, main = 'ACF ARMA')  
legend(  
  'topright',  
  c('Autocorrelation empirique', 'Intervalle fluctuation 95%'),  
  text.col = c('black', 'blue'))
```


ACF ARMA



1.4.2 Tests statistiques sur le bruit blanc :

Le test de Box-Pierce permet de tester l'hypothèse nulle d'indépendance des observations d'une série temporelle.

Le test de Ljung-Box est une généralisation du test de Box-Pierce qui permet de tester l'indépendance des observations d'une série temporelle sur plusieurs retards.

$$\begin{cases} H_0 : \rho(1) = 0, X \text{ est un bruit blanc} \\ H_1 : \rho(1) \neq 0, X \text{ n'est pas un bruit blanc} \end{cases}$$

```
Time = 1000
x = rnorm(Time) #simulation d'un bruit blanc gaussien
ar21 = arima.sim(model = list(ar = c(.5, .2), ma = .5),
                 sd = .1, n = Time)

p1 = Box.test(x) #(test uniquement sur rho(1))
p2 = Box.test(x, lag = 10) #(test sur rho(1),...,rho(10))
p3 = Box.test(x, lag = 10, type = 'Ljung-Box') #(test de Ljung-Box)
p4 = Box.test(ar21) #(test uniquement sur rho(1))

p_value = round(c(p1$p.value, p2$p.value, p3$p.value, p4$p.value),4)

data.frame(
  Test = c(
    "BB Box rho(1)",
    "BB Box rho(1:10)",
```

```

"BB Lunj-Box rho(1:10)",
"Arma21 rho(1)"),
p_value = p_value,
Bruit_Blanc = p_value > .05
)

```

	Test	p_value	Bruit_Blanc
1	BB Box rho(1)	0.2375	TRUE
2	BB Box rho(1:10)	0.3597	TRUE
3	BB Lunj-Box rho(1:10)	0.3544	TRUE
4	Arma21 rho(1)	0.0000	FALSE

1.5 Simulation d'un modèle AR(p) :

$$X_t = \alpha_1 X_{t-1} + \alpha_2 X_{t-2} + \alpha_3 X_{t-3} + \epsilon_t \text{ avec } \epsilon_t \sim \mathcal{N}(0, 1)$$

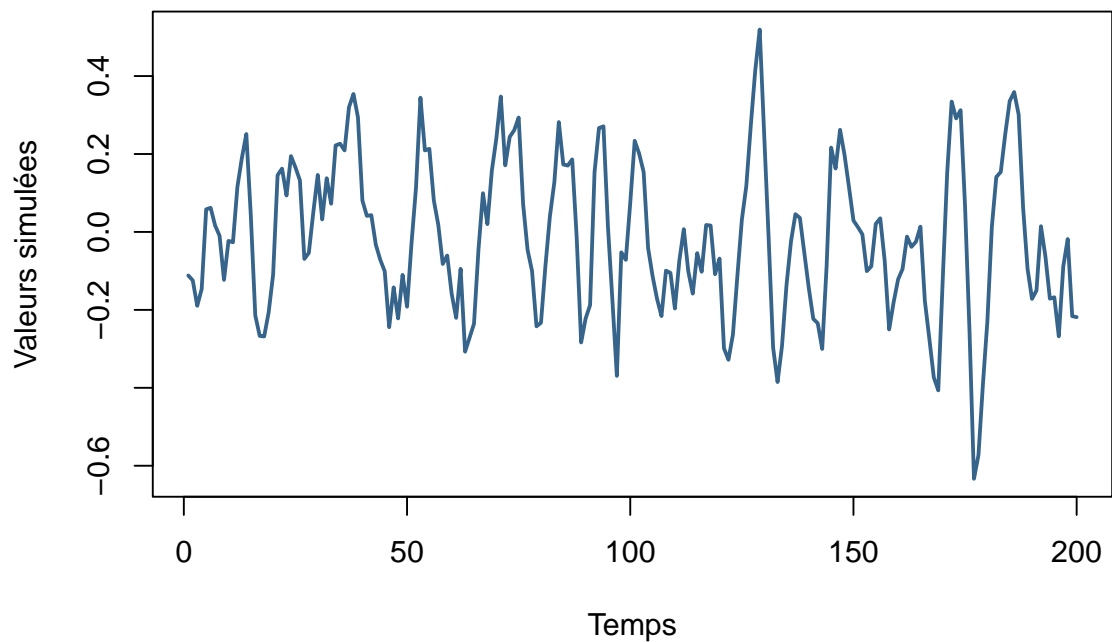
1.5.1 Simulation d'un processus AR(3) :

```

alpha = c(1,-.2,-.2)
sig = .1
p = 3
x = arima.sim(model = list(ar = alpha),
              sd = sig, n = 200)
plot(
  x,
  type = "l",
  col = palette_couleur[1],
  lwd = 2,
  main = "Simulation d'un processus AR(3)",
  ylab = "Valeurs simulées",
  xlab = "Temps"
)

```

Simulation d'un processus AR(3)

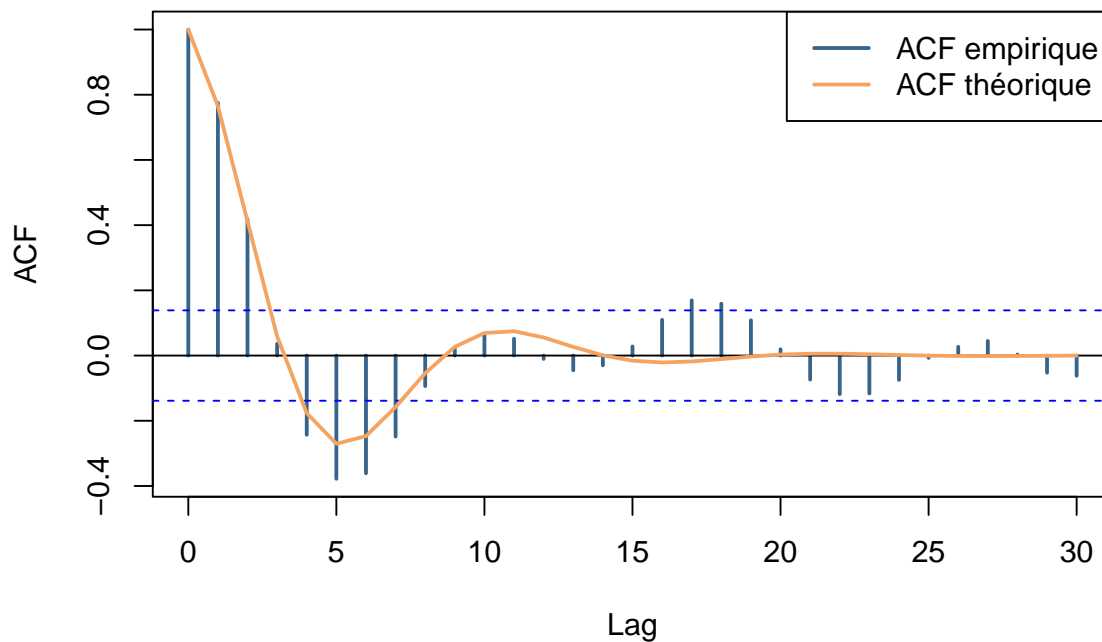


1.5.2 Calcul de la fonction d'autocorrélation théorique :

```
lmax = 30
acfth = ARMAacf(ar = alpha, lag.max = lmax) #fonction autocorrélation théorique
acfemp = acf(
  x,
  lag.max = lmax,
  main = "Fonction autocorrélation empirique",
  col = palette_couleur[1],
  lwd = 2
) #fonction autocorrélation empirique
lines(acfemp$lag, acfth, col = palette_couleur[2],
      lwd = 2) #comparaison

legend(
  'topright',
  c('ACF empirique', 'ACF théorique'),
  col = palette_couleur[1:2],
  lty = 1,
  lwd = 2
)
```

Fonction autocorrélation empirique



1.5.3 Ajustement d'un modèle $AR(p)$ avec ou sans connaissance de p :

```
# Ajustement d'un modèle  $AR(p)$  avec connaissance de  $p$  :
y = ar(x, aic = FALSE, order.max = 3, demean = FALSE)
cat("Paramètres estimés en connaissant  $p$  : \n")
```

Paramètres estimés en connaissant p :

```
round(y$ar, 4)
```

```
[1] 1.0153 -0.1722 -0.2527
```

```
# Ajustement d'un modèle  $AR(p)$  sans connaissance de  $p$  :
y2 = ar(x)
cat("Paramètres estimés sans connaître  $p$  : \n")
```

Paramètres estimés sans connaître p :

```
round(y2$ar, 4) # Selection de l'ordre optimal
```

```
[1] 1.0142 -0.1711 -0.2547
```

1.5.4 Simulation d'un processus $AR(3)$ non-centré :

```
alpha = c(1, -.2, -.2)
sig = .1
p = 3
x = arima.sim(model = list(ar = alpha),
              sd = sig, n = 200)
```

```

y = x + 1
fit = ar(y, aic = FALSE, order.max = 3, demean = TRUE)
# Demean = TRUE pour centrer la série temporelle

cat('Estimation de la moyenne : ', fit$x.mean, '\n')

```

Estimation de la moyenne : 1.019322

1.5.5 Ajustement d'un modèle AR(p) avec la fonction arima :

Commentaire :

Par défaut la fonction arima centre la série temporelle.

Inclure la moyenne dans le modèle comme intercept permet de centrer la série temporelle. (option demean = TRUE) dans la fonction ar et inclure.mean = TRUE dans la fonction arima.

Call:

```
arima(x = y, order = c(3, 0, 0), include.mean = TRUE)
```

Coefficients:

	ar1	ar2	ar3	intercept
	0.9315	-0.0868	-0.1523	1.0184
s.e.	0.0696	0.0959	0.0701	0.0207

sigma^2 estimated as 0.008143: log likelihood = 196.71, aic = -383.42

Call:

```
arima(x = y, order = c(3, 0, 0), include.mean = FALSE)
```

Coefficients:

	ar1	ar2	ar3
	1.0966	-0.1198	0.0175
s.e.	0.0707	0.1048	0.0707

sigma^2 estimated as 0.009753: log likelihood = 176.94, aic = -345.88

1.5.6 Intervalle de prédiction du modèle AR(3) :

```
confint(fit, level = .95) #intervalle de confiance
```

	2.5 %	97.5 %
ar1	0.7949985	1.06793797
ar2	-0.2746723	0.10113101
ar3	-0.2896533	-0.01502755
intercept	0.9779636	1.05892772

1.5.7 Prédiction d'un modèle AR(3) :

```

x = arima.sim(model = list(ar = c(1, -.2, -.2)),
              sd = .1, n = 200)
fit = ar(x, aic = FALSE, order.max = 3, demean = TRUE)
pred = predict(fit, n.ahead = 3)
pred

```

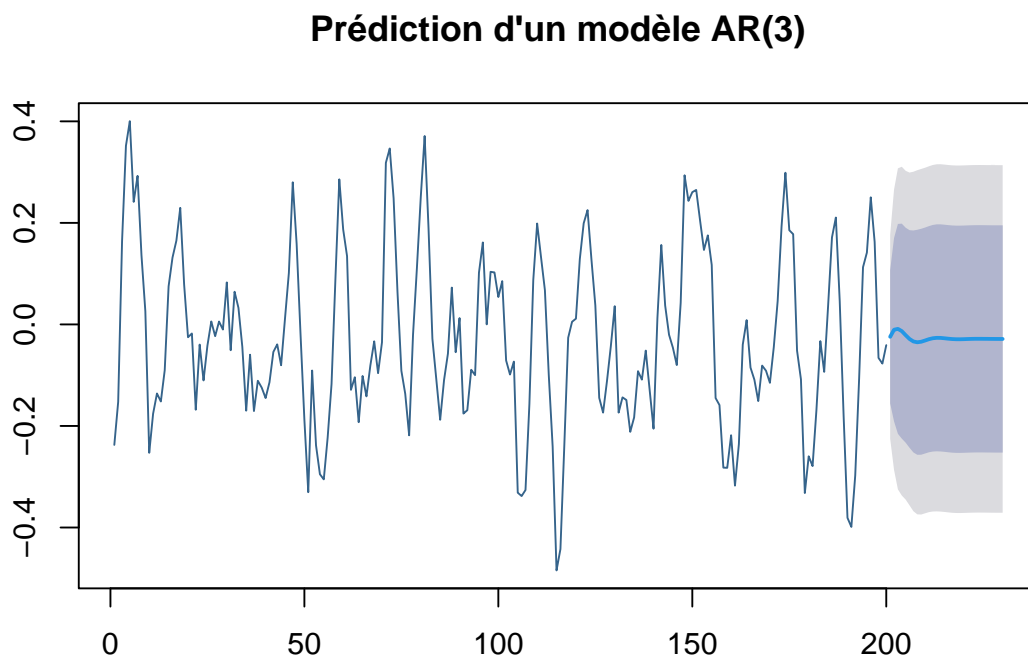
```
$pred
Time Series:
Start = 201
End = 203
Frequency = 1
[1] -0.024318171 -0.010415514 -0.008772933
```

```
$se
Time Series:
Start = 201
End = 203
Frequency = 1
[1] 0.1024022 0.1408759 0.1613118
```

1.5.7.1 Représentation graphique de la prédiction : Commentaire :

L'intervalle de prédiction est compris entre 80% et 95% de confiance.

```
library(forecast)
pm <- forecast(fit, h = 30)
plot(pm, main = "Prédiction d'un modèle AR(3)", col = palette_couleur[1])
```



1.6 Modélisation ARMA(p,q) :

1.6.1 Ajustement d'un modèle ARMA(p,q) quand p et q sont connus :

```
set.seed(123)
p = 2 # ordre AR
```

```

q = 2 # ordre MA
alpha = c(0.9,-0.2) # coefficients AR
beta = c(0.8,0.5) # coefficients MA
sigma = 1 # écart-type du bruit
n = 10^3 # nombre de simulations
x = arima.sim(model = list(ar = alpha, ma = beta), sd = sigma, n = n) # simulation
mod = arima(x, order = c(p,0,q))

dt = data.frame(
  alpha_reel = alpha,
  alpha_estim = mod$coef[1:p],
  beta_reel = beta,
  beta_estim = mod$coef[(p+1):(p+q)])
rownames(dt) = c('lag1', 'lag2')
round(dt, 4)

```

	alpha_reel	alpha_estim	beta_reel	beta_estim
lag1	0.9	0.8322	0.8	0.8462
lag2	-0.2	-0.1636	0.5	0.5273

Commentaire :

Les paramètres estimés sont proches des paramètres réels. Une augmentation du nombre de simulations permet d'améliorer la précision des estimations.

1.6.2 Ajustement d'un modèle ARMA(p,q) quand p et q sont inconnus :

Commentaire : quand les paramètres sont inconnus on peut utiliser des critères d'informations tels que (AIC, BIC) pour sélectionner le meilleur modèle, on doit minimiser ces critères.

```

SELECTION_ARMA <- function(x, pmax, qmax, print_result = TRUE) {
  AIC = matrix(0, nrow = pmax + 1, ncol = qmax + 1) #tableau pour stocker les valeurs du AIC
  for (p in 0:pmax) {
    for (q in 0:qmax) {
      AIC[p + 1, q + 1] = arima(x, order = c(p, 0, q))$aic #calcul du AIC
    }
  }

  colnames(AIC) <- paste("q =", 0:qmax)
  rownames(AIC) <- paste("p =", 0:pmax)
  #AIC

  # On renvoie l'indice du minimum de AIC :
  p = which(AIC == min(AIC), arr.ind = TRUE)[1] - 1
  q = which(AIC == min(AIC), arr.ind = TRUE)[2] - 1

  if(print_result == TRUE){
    cat("Meilleur modèle ARMA(p,q) : p = ", p, " q = ", q,
        "Valeur de l'AIC : ", min(AIC), "\n", "\n")
    cat("Tableau des AIC : \n")
    #AIC
  }
  return(list(AIC, p, q))
}

```

```
# Fonction de sélection :
SELECTION_ARMA(x, pmax = 5, qmax = 5)
```

1.6.2.1 Méthode de sélection par boucle :

Meilleur modèle ARMA(p,q) : p = 2 q = 2 Valeur de l'AIC : 2854.911

Tableau des AIC :

```
[[1]]
      q = 0    q = 1    q = 2    q = 3    q = 4    q = 5
p = 0 5038.096 3993.394 3264.579 2974.258 2884.715 2864.898
p = 1 3560.485 3118.934 2861.834 2856.077 2856.491 2858.490
p = 2 3008.832 2948.911 2854.911 2856.711 2858.547 2861.214
p = 3 2918.651 2919.119 2856.651 2858.609 2860.586 2862.460
p = 4 2917.311 2893.297 2858.495 2860.460 2862.461 2864.433
p = 5 2883.806 2871.007 2860.461 2862.465 2864.442 2866.471
```

```
[[2]]
[1] 2
```

```
[[3]]
[1] 2
```

```
library(forecast)
auto.arima(x, stationary = TRUE, seasonal = FALSE)
```

1.6.2.2 Méthode de sélection avec la fonction auto.arima :

Series: x
ARIMA(1,0,4) with zero mean

Coefficients:

	ar1	ma1	ma2	ma3	ma4
	0.5351	1.1427	0.8673	0.2508	0.0667
s.e.	0.0732	0.0783	0.1246	0.1129	0.0529

sigma^2 = 1.007: log likelihood = -1421.46
AIC=2854.92 AICc=2855 BIC=2884.36

```
# Paramétrages de la fonction :
auto.arima(x, stationary = TRUE, seasonal = FALSE, stepwise=FALSE, max.order=10, approximation = FALSE)
```

Series: x
ARIMA(2,0,2) with zero mean

Coefficients:

	ar1	ar2	ma1	ma2
	0.8323	-0.1632	0.8465	0.5274
s.e.	0.0575	0.0536	0.0512	0.0375

sigma^2 = 1.006: log likelihood = -1421.67
AIC=2853.33 AICc=2853.39 BIC=2877.87


```
# Sélection par la méthode du BIC
auto.arima(x,stationary = TRUE,seasonal = FALSE,ic="bic",max.order=10)
```

Series: x
ARIMA(1,0,3) with zero mean

Coefficients:

	ar1	ma1	ma2	ma3
	0.6043	1.0705	0.7373	0.1238
s.e.	0.0403	0.0473	0.0604	0.0437

sigma^2 = 1.007: log likelihood = -1422.24
AIC=2854.48 AICc=2854.54 BIC=2879.02

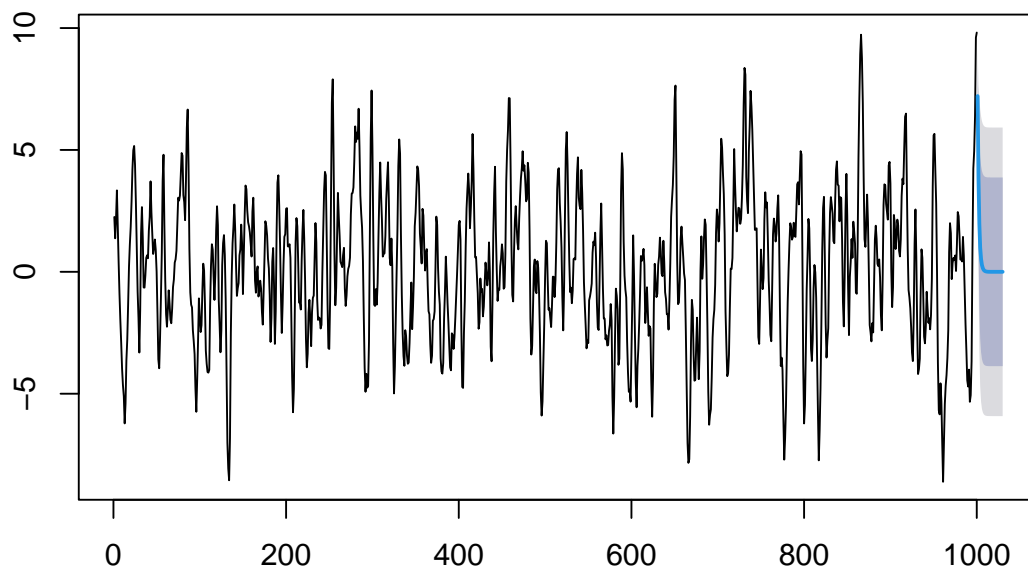
Commentaire :

La méthode BIC a tendance à sélectionner moins de paramètres que la méthode AIC. Elle discrimine mieux les modèles complexes.

1.6.3 La prédiction des modélisations ARMA(p,q) :

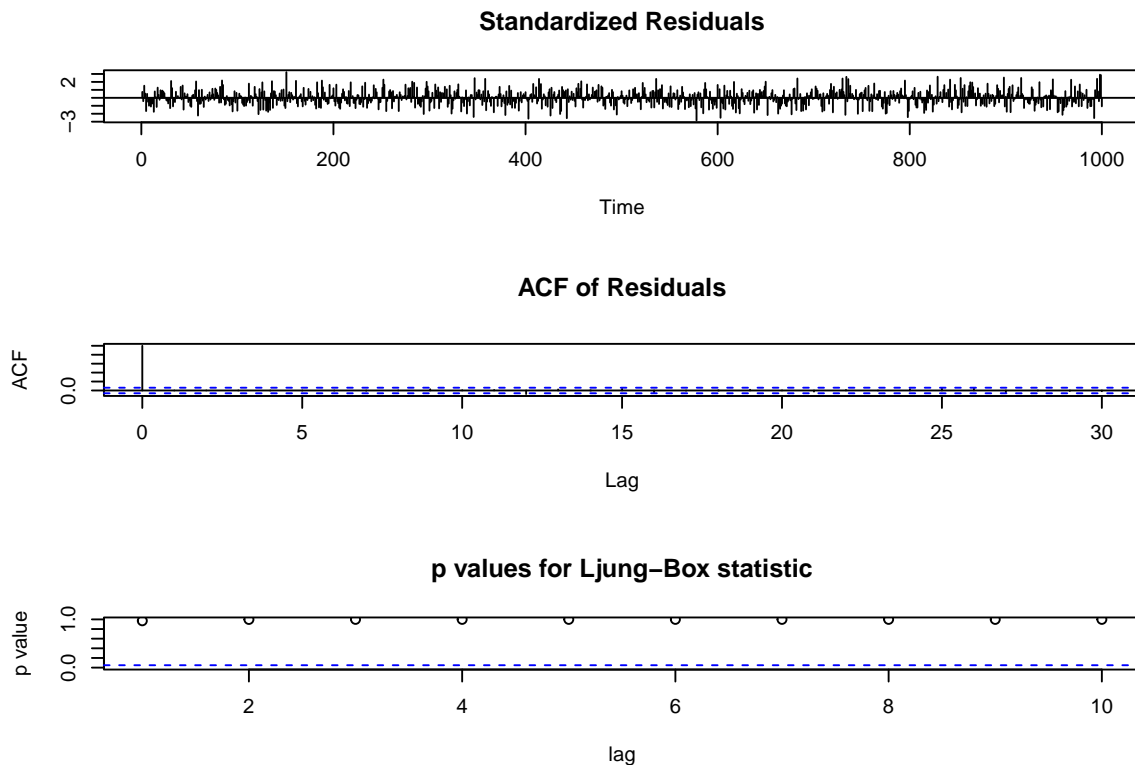
```
fit = auto.arima(x, stationary = TRUE, seasonal = FALSE)
#ajustement du modèle arma, inclut la sélection de modèle
pm <- forecast(fit, h = 30) #représentation graphique
plot(pm) # intervalles prédiction à 80% et 95%
```

Forecasts from ARIMA(1,0,4) with zero mean



1.6.4 Vérification de la stationnarité d'un processus ARMA(p,q) :

```
# Bruit blanc ?  
tsdiag(fit)
```



```
# Test de gaussienneté des résidus :  
shapiro.test(fit$residuals)
```

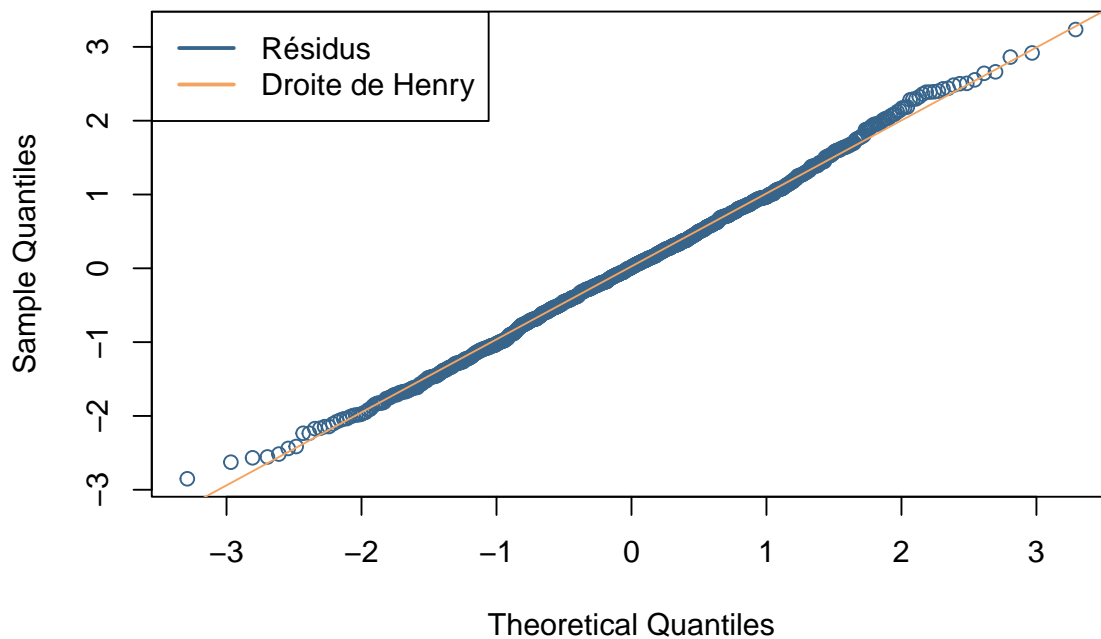
Shapiro-Wilk normality test

data: fit\$residuals

W = 0.9981, p-value = 0.3252

```
qqnorm(fit$residuals, col = palette_couleur[1])  
qqline(fit$residuals, col = palette_couleur[2])  
legend('topleft', c('Résidus', 'Droite de Henry'), col = palette_couleur[1:2], lwd = 2)
```

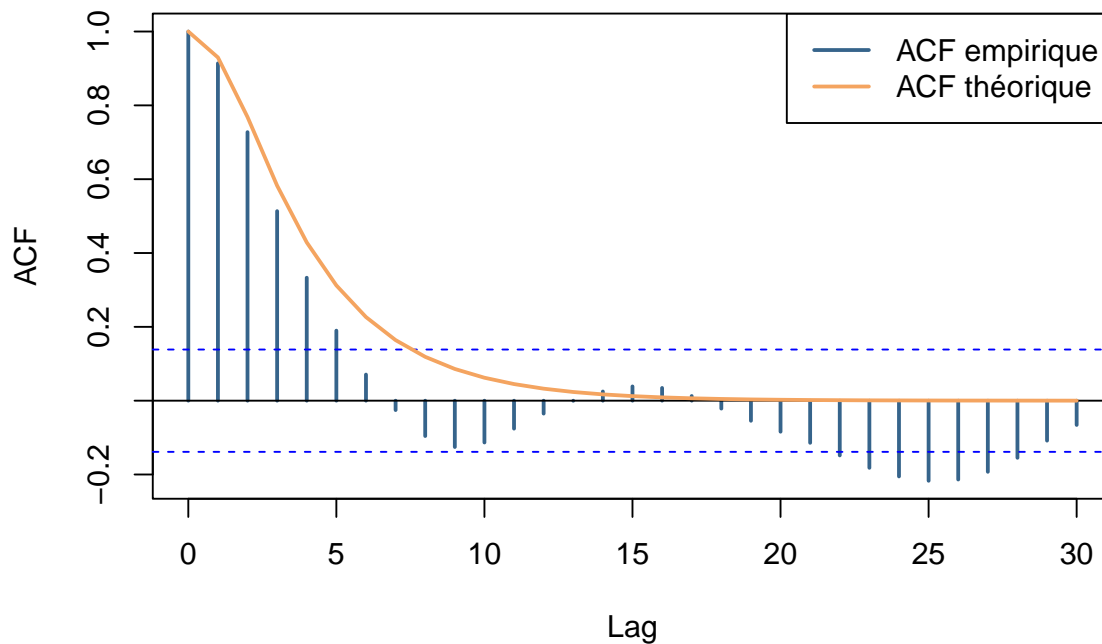
Normal Q-Q Plot



1.6.5 Fonction auto-corrélation d'un processus ARMA(p,q) :

```
lmax = 30
alpha = c(1, -0.2) #partie AR
beta = c(1, 1) #partie MA
x = arima.sim(model = list(ar = alpha, ma = beta),
              sd = 1,
              n = 200)
acfth = ARMAacf(ar = alpha,
               ma = beta,
               lag.max = lmax) #fonction autocorrélation théorique
acfemp = acf(x, lag.max = lmax,
             main = "Fonction autocorrélation empirique",
             col = palette_couleur[1],
             lwd = 2) #fonction autocorrélation empirique
lines(acfemp$lag, acfth, col = palette_couleur[2],
      lwd = 2) #comparaison
legend(
  'topright',
  c('ACF empirique', 'ACF théorique'),
  col = palette_couleur[1:2],
  lty = 1,
  lwd = 2
)
```

Fonction autocorrélation empirique

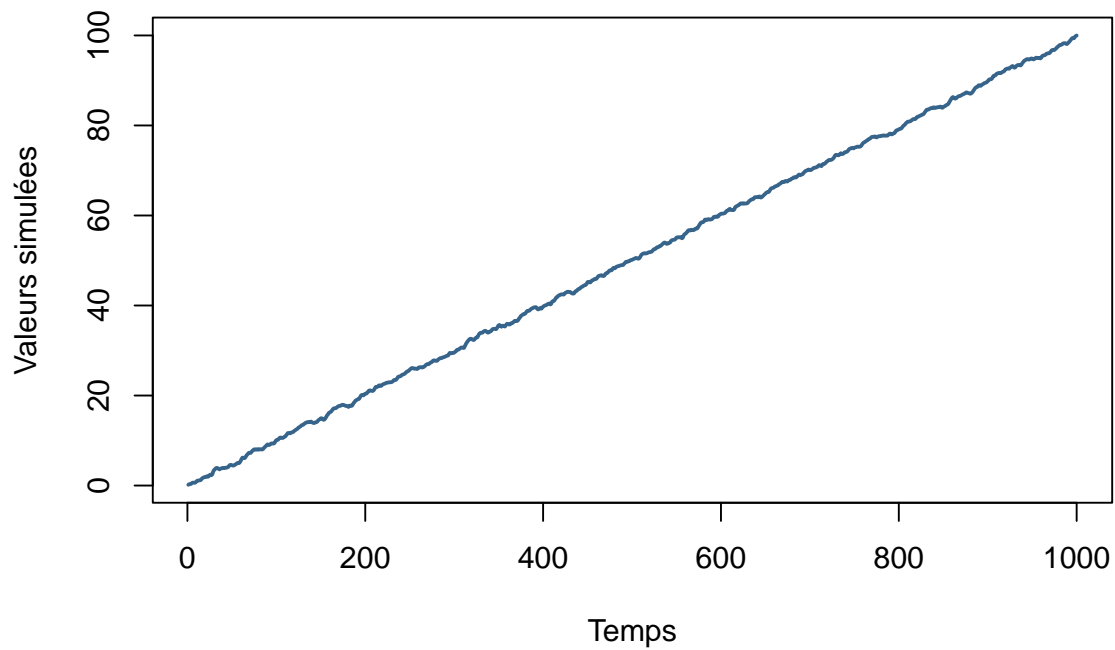


1.7 Modélisation de composantes non stationnaires :

1.7.1 Simulation ARMA non stationnaires

```
p = 1 #valeur de p
q = 1 #valeur de q
alpha = c(.9) #alpha
beta = c(.8) #beta
sig = .1 #sigma
time = 10^3
x = arima.sim(model = list(ar = alpha, ma = beta),
               sd = sig,
               n = time) #simulation modèle ARMA(1,1)
y = x + .1 * (1:time) #ajout tendance linéaire
plot(
  y,
  main = "Simulation d'un processus ARMA(1,1) non stationnaire",
  ylab = "Valeurs simulées",
  xlab = "Temps",
  type = "l",
  col = palette_couleur[1],
  lwd = 2
)
```

Simulation d'un processus ARMA(1,1) non stationnaire



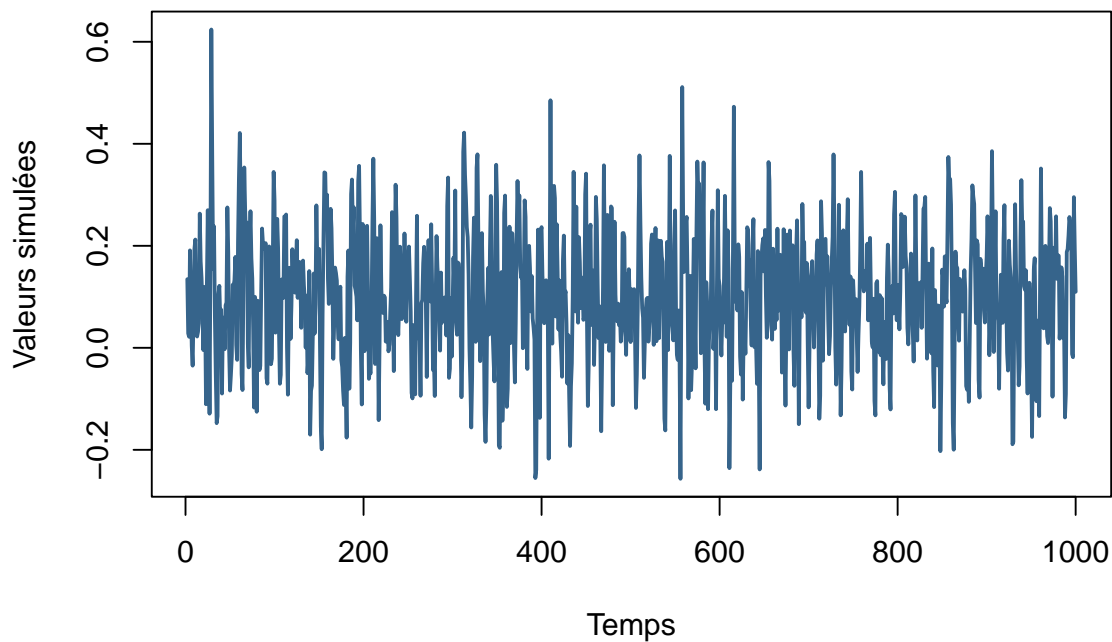
Commentaire :

On voit que le processus n'est pas stationnaire, il y a une tendance linéaire.

1.7.2 Stationnarisation possible, la différence première :

```
plot(diff(y),  
     main = "Différence première d'un processus ARMA(1,1) non stationnaire",  
     ylab = "Valeurs simulées",  
     xlab = "Temps",  
     type = "l",  
     col = palette_couleur[1],  
     lwd = 2)
```

Différence première d'un processus ARMA(1,1) non stationnaire



```
arma = arima(diff(y), order = c(p, 0, q+1))
arma_centree = arima(diff(y)-mean(diff(y)), order = c(p, 0, q+1))
arma
```

1.7.2.1 Ajustement du modèle ARMA(p, q+1) pour la différence première :

Call:

```
arima(x = diff(y), order = c(p, 0, q + 1))
```

Coefficients:

	ar1	ma1	ma2	intercept
	0.8877	-0.1937	-0.8062	0.0997
s.e.	0.0148	0.0195	0.0192	0.0002

sigma² estimated as 0.009666: log likelihood = 897.21, aic = -1784.41

```
arma_centree
```

Call:

```
arima(x = diff(y) - mean(diff(y)), order = c(p, 0, q + 1))
```

Coefficients:

	ar1	ma1	ma2	intercept
	0.8877	-0.1937	-0.8062	-2e-04
s.e.	0.0148	0.0195	0.0192	2e-04

sigma^2 estimated as 0.009666: log likelihood = 897.21, aic = -1784.41

Commentaire :

La série $\text{diff}(y)$ n'est pas de moyenne nulle pourtant la fonction `arima` considère que la série est centrée.

```
arma2 = arima(y, order = c(p, 0, q+1))
arma2
```

1.7.2.2 Ajustement du modèle ARMA(p,q+1) sur la série temporelle initiale :

Call:

```
arima(x = y, order = c(p, 0, q + 1))
```

Coefficients:

	ar1	ma1	ma2	intercept
	0.9999	0.9444	0.1327	59.6200
s.e.	NaN	0.0291	0.0282	7.5712

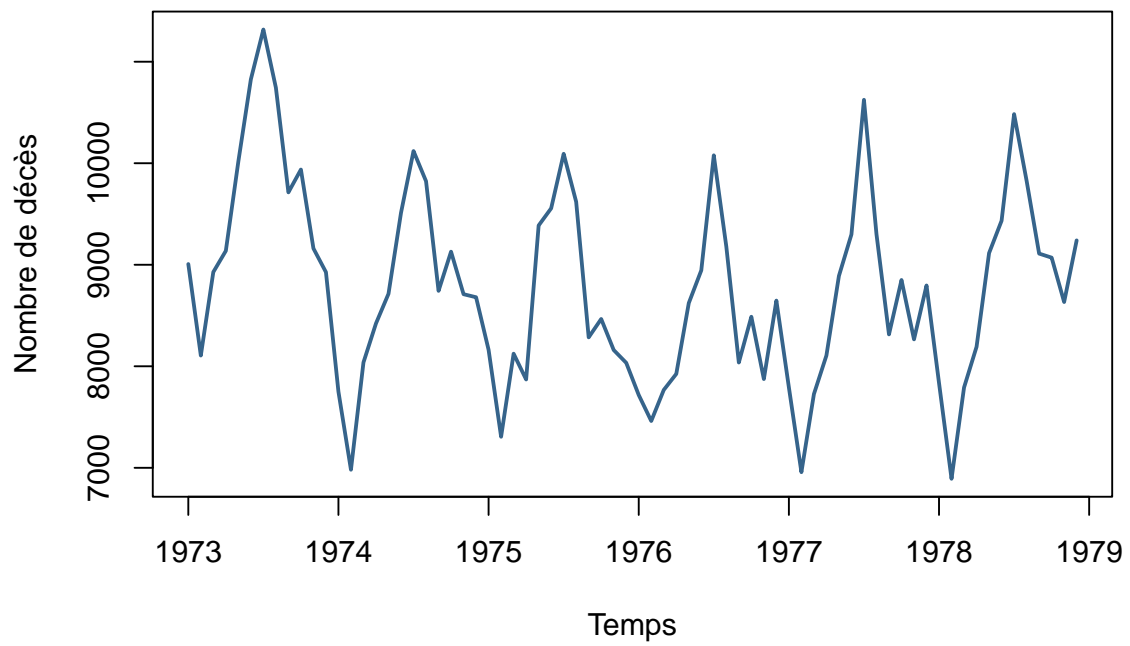
sigma^2 estimated as 0.01291: log likelihood = 754.78, aic = -1499.55

1.8 Illustration des séries temporelles avec de la saisonnalité :

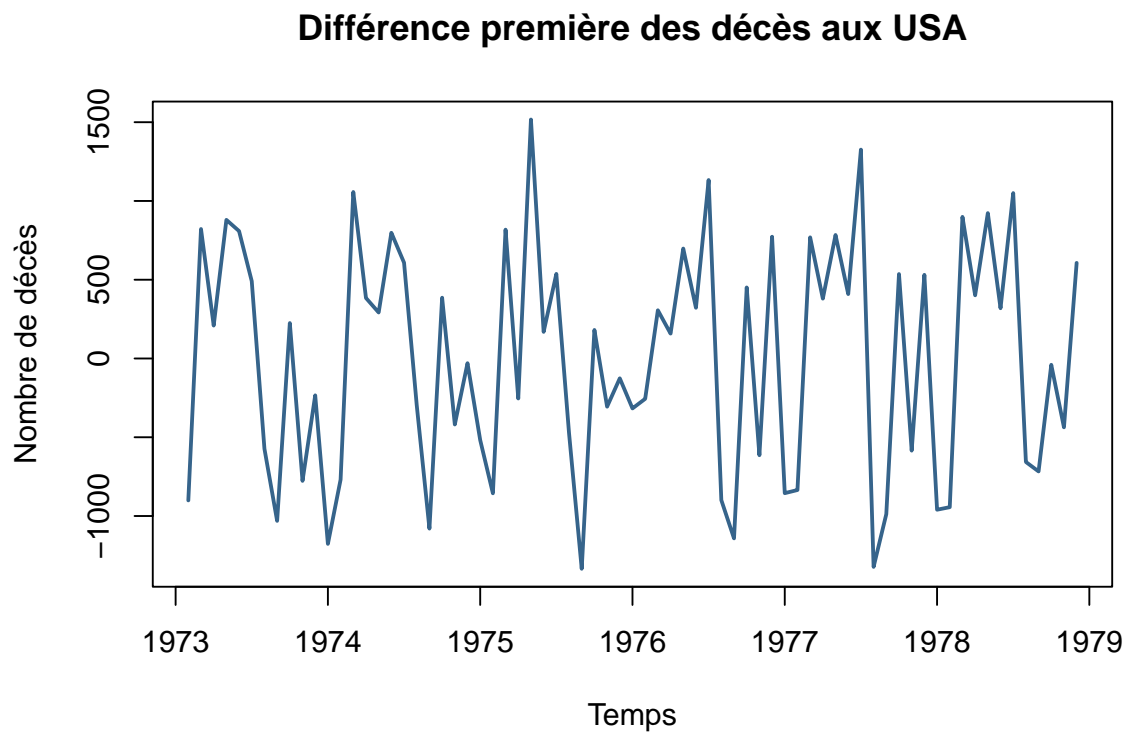
1.8.1 Série temporelle avec saisonnalité et sans tendance :

```
plot(USAccDeaths,
     main = "Décès aux USA",
     ylab = "Nombre de décès",
     xlab = "Temps",
     type = "l",
     col = palette_couleur[1],
     lwd = 2)
```

Décès aux USA



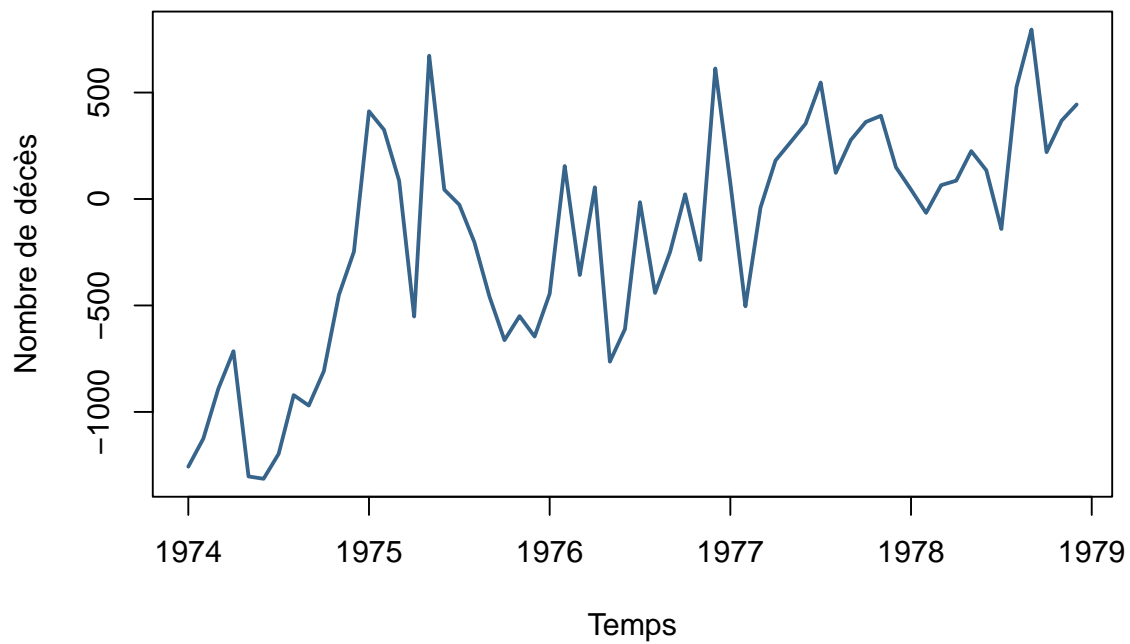
```
plot(diff(USAccDeaths),  
     main = "Différence première des décès aux USA",  
     ylab = "Nombre de décès",  
     xlab = "Temps",  
     type = "l",  
     col = palette_couleur[1],  
     lwd = 2)
```

1.8.2 Série temporelle avec saisonnalité et tendance :

```
plot(diff(USAccDeaths, lag = 12),  
     main = "Différence première des décès aux USA",  
     ylab = "Nombre de décès",  
     xlab = "Temps",  
     type = "l",  
     col = palette_couleur[1],  
     lwd = 2)
```

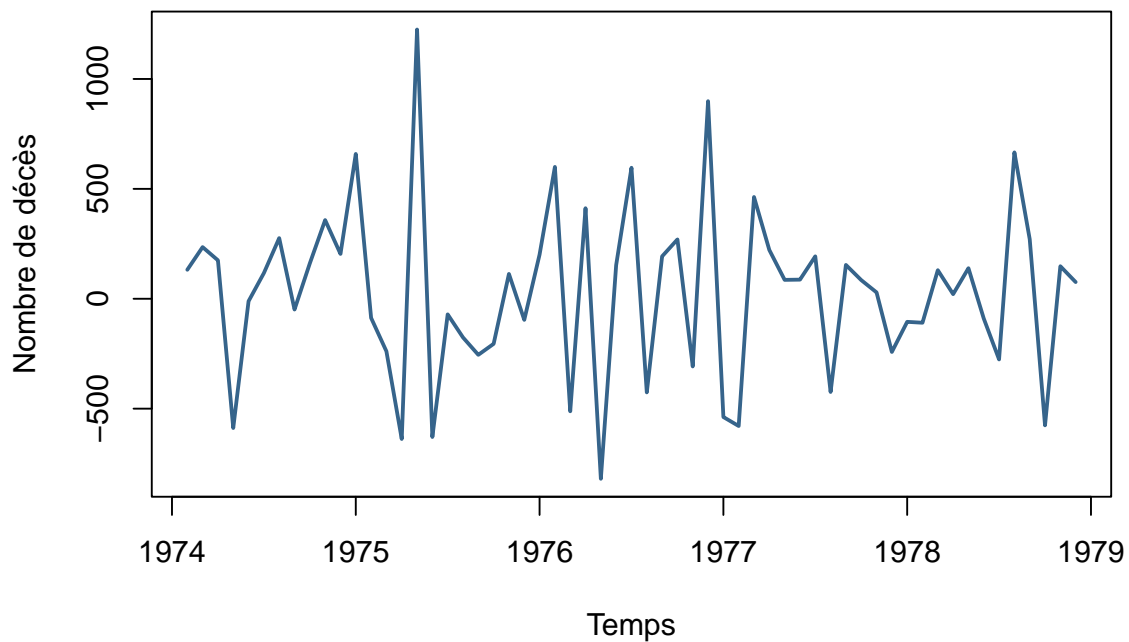
Différence première des décès aux USA



1.8.3 Série sans saisonnalité et sans tendance :

```
plot(diff(diff(USAccDeaths, lag = 12)),  
     main = "Différence seconde des décès aux USA",  
     ylab = "Nombre de décès",  
     xlab = "Temps",  
     type = "l",  
     col = palette_couleur[1],  
     lwd = 2)
```

Différence seconde des décès aux USA



```
dt = data.frame(
  Longueur = c(length(USAccDeaths), length(diff(USAccDeaths)), length(diff(USAccDeaths, lag = 12))), length(dt)
  Différence = c("Aucune", "Première", "Première + lag 12", "première de (première + lag 12)"))
dt
```

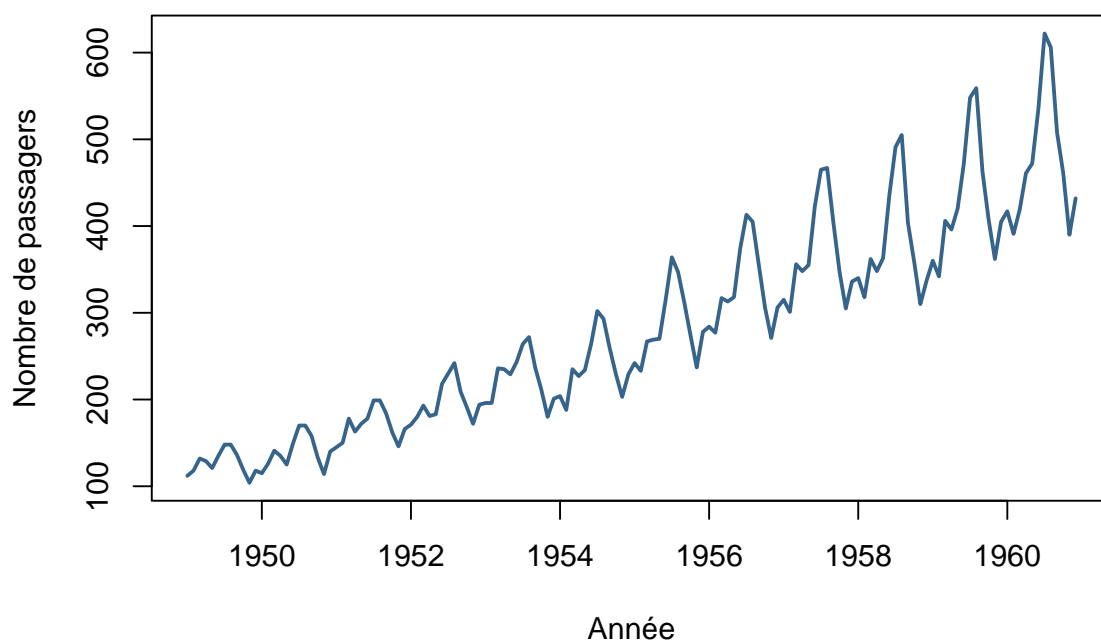
1.8.3.1 Diminution de la taille de la série :

	Longueur	Différence
1	72	Aucune
2	71	Première
3	60	Première + lag 12
4	59	première de (première + lag 12)

1.9 Modèles paramétriques saisonniers :

```
plot(AirPassengers,
     main = "Evolution du nombre de passagers aériens",
     ylab = "Nombre de passagers",
     xlab = "Année",
     type = "l",
     col = palette_couleur[1],
     lwd = 2)
```

Evolution du nombre de passagers aériens



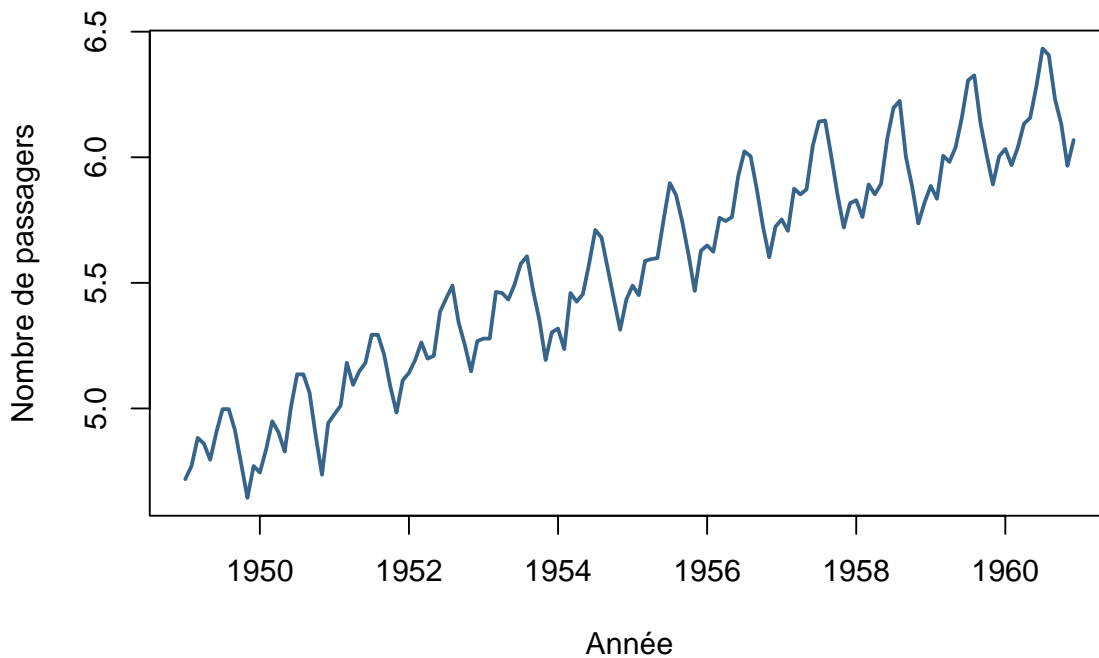
Commentaire :

Augmentation de l'amplitude du cycle saisonnier et la tendance au cours du temps.

1.9.1 Stabilisation du cycle saisonnier par application du log :

```
plot(log(AirPassengers),  
     main = "log : Evolution du nombre de passagers aériens",  
     ylab = "Nombre de passagers",  
     xlab = "Année",  
     type = "l",  
     col = palette_couleur[1],  
     lwd = 2)
```

log : Evolution du nombre de passagers aériens



Commentaire :

Il est préférable de prendre un modèle multiplicatif pour les séries temporelles avec une tendance exponentielle. A l'inverse les séries temporelles avec une tendance linéaire peuvent être modélisées par un modèle additif.

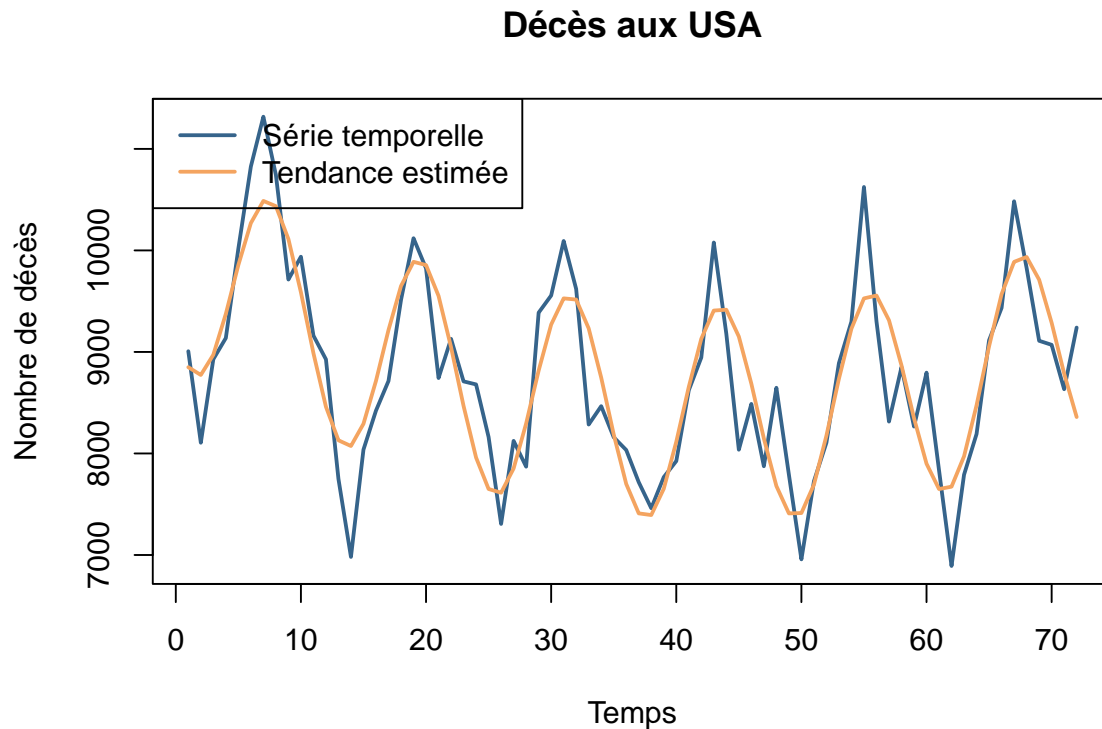
1.9.2 Estimation des paramètres de la saisonnalité :

```
Time = length(USAccDeaths)
data = data.frame(
  USAccDeaths,
  t = 1:Time,
  t2 = (1:Time) ^ 2,
  cos = cos(2 * pi * (1:Time) / 12),
  sin = sin(2 * pi * (1:Time) / 12)
)
fit = lm(USAccDeaths ~ ., data = data)
plot(
  1:Time,
  USAccDeaths,
  main = "Décès aux USA",
  ylab = "Nombre de décès",
  xlab = "Temps",
  type = "l",
  col = palette_couleur[1],
  lwd = 2
)
lines(1:Time, fit$fitted.values, col = palette_couleur[2], lwd = 2)
```

```

legend(
  'topleft',
  c('Série temporelle', 'Tendance estimée'),
  col = palette_couleur[1:2],
  lwd = 2
)

```

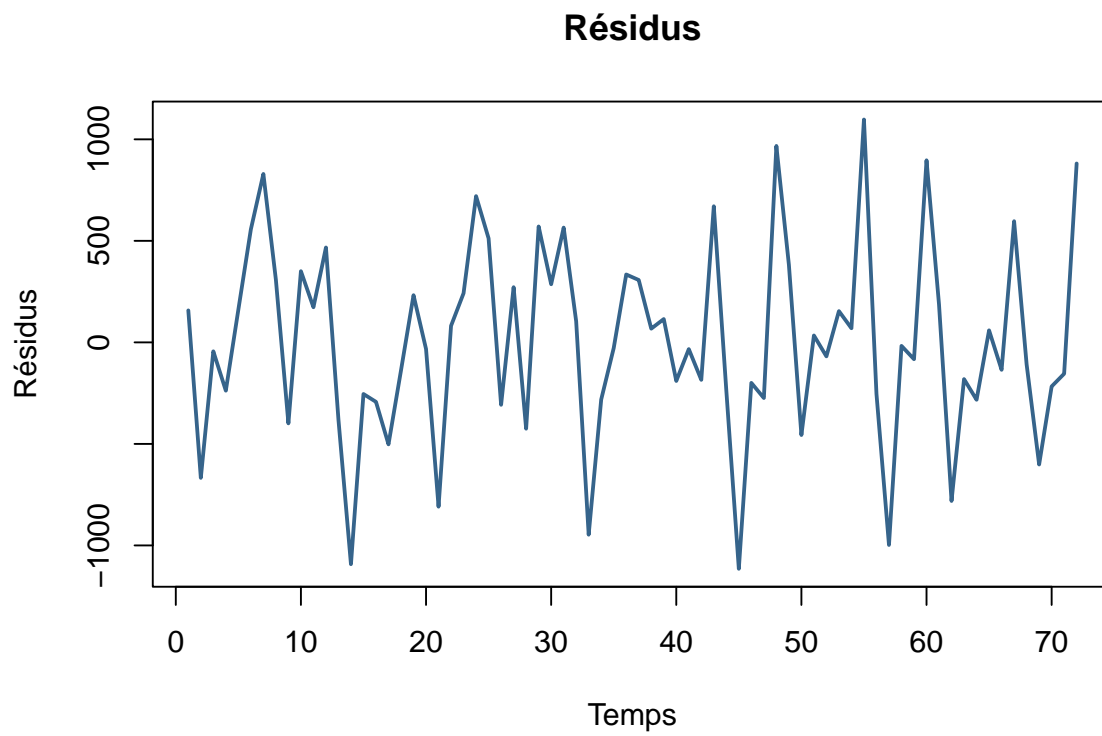


1.9.3 Vérification du choix d'estimation de la composante saisonnière :

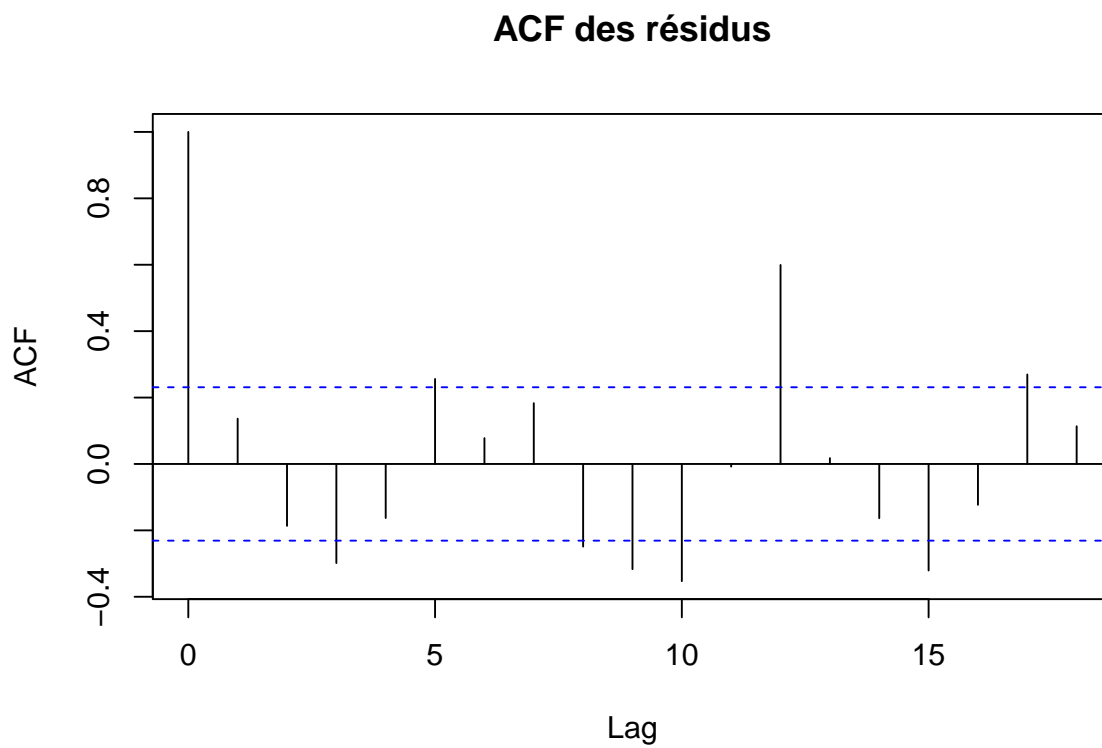
```

plot(fit$residuals,
  main = "Résidus",
  ylab = "Résidus",
  xlab = "Temps",
  type = "l", col = palette_couleur[1], lwd = 2)

```



```
acf(fit$residuals, main = "ACF des résidus")
```



Commentaire :

La saisonnalité n'est pas bien modélisée, on remarque qu'il reste une tendance dans les résidus notamment tous les 12 mois.

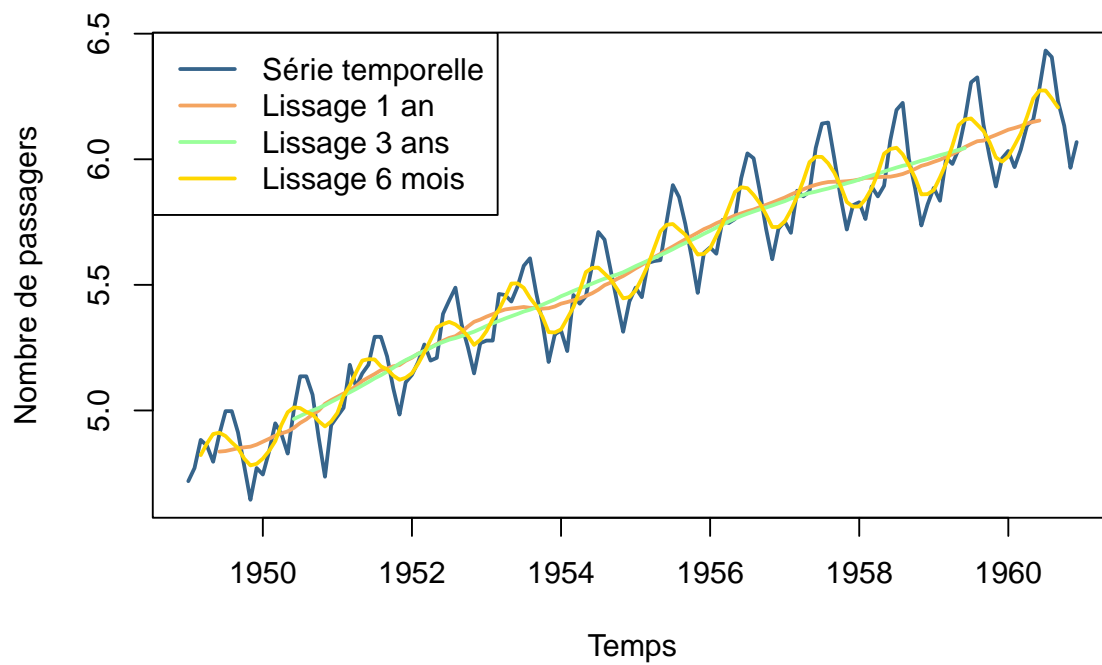
1.10 Lissage non paramétrique :

```
# Estimation de la tendance par moyenne mobile :
plot(log(AirPassengers),
     main = "Lissage non paramétrique",
     ylab = "Nombre de passagers",
     xlab = "Temps",
     type = "l",
     col = palette_couleur[1],
     lwd = 2)
# Fenêtre de largeur 1 an :
L = 12
hatx = stats::filter(log(AirPassengers), filter = rep(1 / (L), L))
lines(hatx,
      col = palette_couleur[2],
      lwd = 2) #estimateur non paramétrique de la tendance

# Fenêtre de largeur 3 ans :
L = 36
hatx = stats::filter(log(AirPassengers), filter = rep(1 / (L), L))
lines(hatx,
      col = palette_couleur[3],
      lwd = 2) #lissage plus important

# Fenêtre de largeur 6 mois :
L = 6
hatx = stats::filter(log(AirPassengers), filter = rep(1 / (L), L))
lines(hatx,
      col = palette_couleur[4],
      lwd = 2) #composante saisonnière toujours présente
legend(
  'topleft',
  c('Série temporelle', 'Lissage 1 an', 'Lissage 3 ans', 'Lissage 6 mois'),
  col = palette_couleur[1:4],
  lwd = 2
)
```

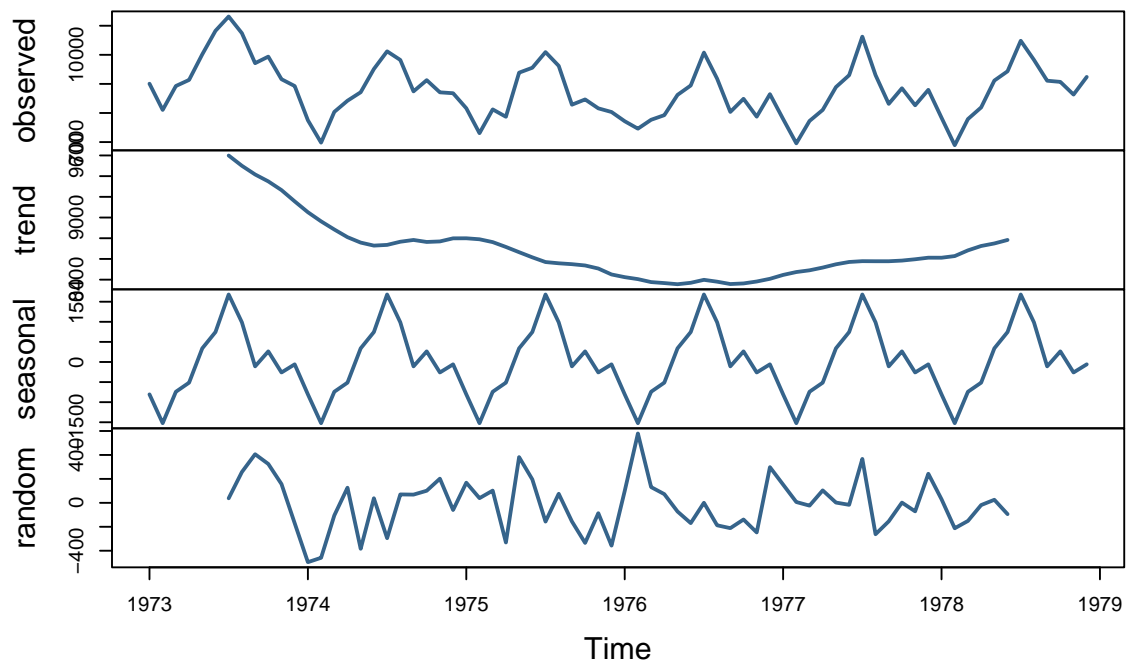

Lissage non paramétrique



1.10.1 Décomposition de la série temporelle, méthode des moyennes mobiles :

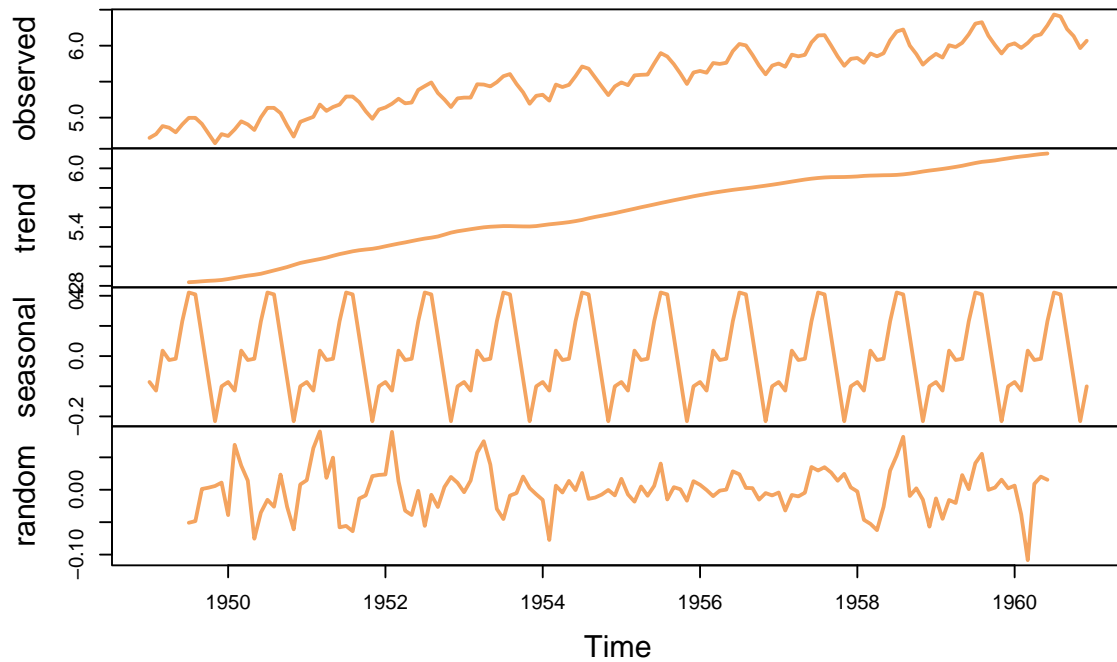
```
plot(decompose(USAccDeaths), lwd = 2,  
     col = palette_couleur[1])
```

Decomposition of additive time series



```
plot(decompose(log(AirPassengers)), lwd = 2,
     col = palette_couleur[2])
```

Decomposition of additive time series

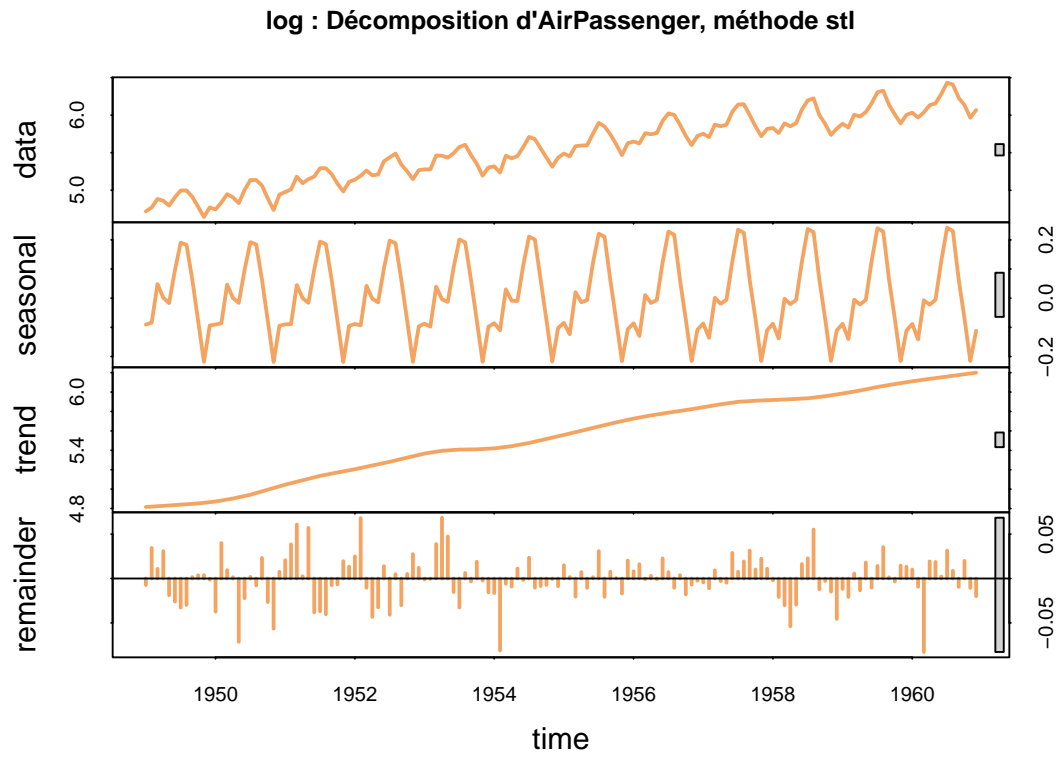


1.10.2 Décomposition de la série temporelle, méthode STL :

Commentaire :

La fonction `stl` décompose la série temporelle en trois composantes : saisonnalité, tendance et résidus. Elle n'utilise pas la méthodes des moyennes mobiles, mais une méthode de lissage basée sur la régression polynomiale.

```
plot(stl(log(AirPassengers), s.window = 12),  
     main = "log : Décomposition d'AirPassenger, méthode stl",  
     lwd = 2,  
     col = palette_couleur[2])
```



2 Travaux dirigés

2.1 Exercice 1: Simulation de différents processus :

2.1.1 Simulation MA(1) :

$$A_t = \epsilon_t + \beta\epsilon_{t-1} \text{ avec } \epsilon_t \sim \mathcal{N}(0, 1)$$

```
# Paramètres de la simulation :
Time = 1000
sigma = 1
beta = 0.5

# Simulation par formule :
esp = rnorm(Time + 1, sd = sigma)
A = esp[2:(Time+1)] + beta * esp[1:Time]

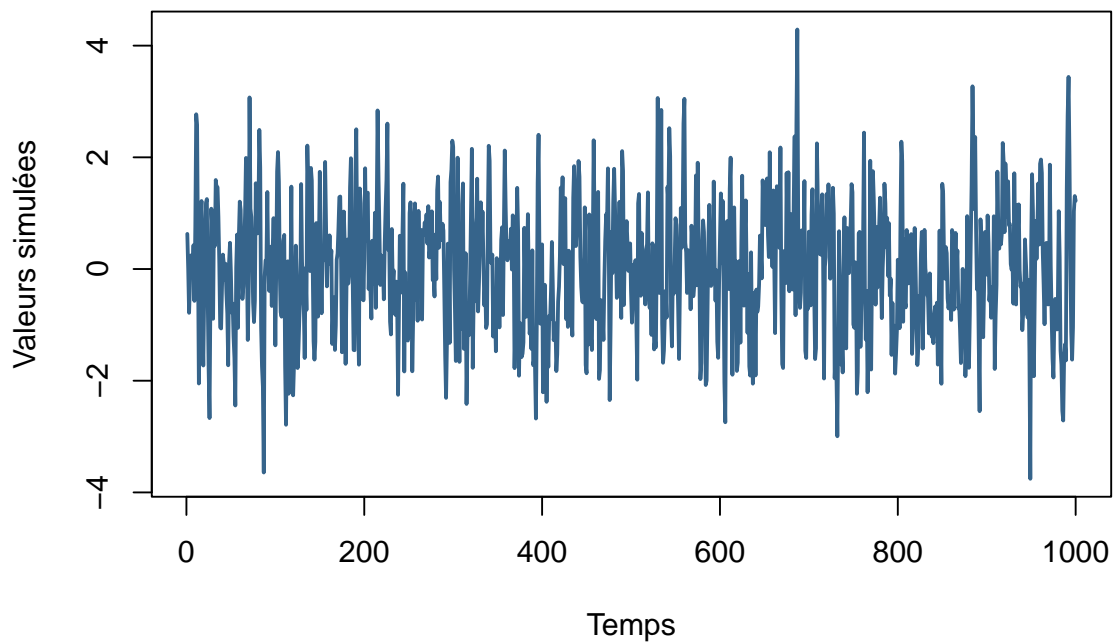
# Simulation par fonction intégrée :
A2 = arima.sim(model = list(ma = beta), n = Time, sd = sigma)

# Acf Théorique d'un processus MA(1) :
ARMAacf(ma = beta, lag.max = 20)

  0   1   2   3   4   5   6   7   8   9  10  11  12  13  14  15  16  17  18  19
1.0 0.4 0.0 0.0 0.0 0.0 0.0 0.0 0.0 0.0 0.0 0.0 0.0 0.0 0.0 0.0 0.0 0.0 0.0 0.0
20
0.0

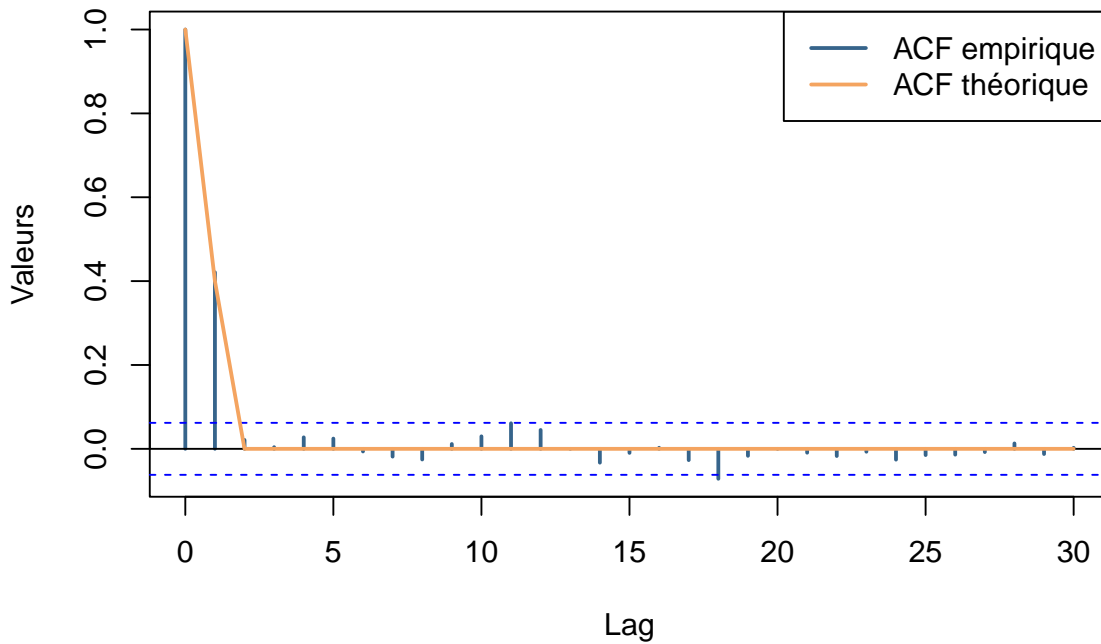
# Représentation graphique :
plot(
  A,
  type = 'l',
  main = 'Simulation d\'un processus MA(1)',
  ylab = 'Valeurs simulées',
  xlab = 'Temps',
  col = palette_couleur[1],
  lwd = 2
)
```

Simulation d'un processus MA(1)



```
ac = acf(A,  
  main = "Fonction autocorrélation processus MA(1)",  
  ylab = "Valeurs",  
  col = palette_couleur[1],  
  lwd = 2) #acf empirique  
lines(ac$lag, c(1, beta / (1 + beta ^ 2), rep(0, length(ac$lag) - 2)),  
  col = palette_couleur[2],  
  lwd = 2) #acf théorique  
#Alternative :  
# lines(ac$lag,  
#       ARMAacf(ma = beta, lag.max = ac$lag[length(ac$lag)]),  
#       col = palette_couleur[3],  
#       lwd = 2) #acf alternative  
legend(  
  'topright',  
  c('ACF empirique', 'ACF théorique'),  
  col = palette_couleur[1:2],  
  lty = 1,  
  lwd = 2)
```

Fonction autocorrélation processus MA(1)



Commentaires :

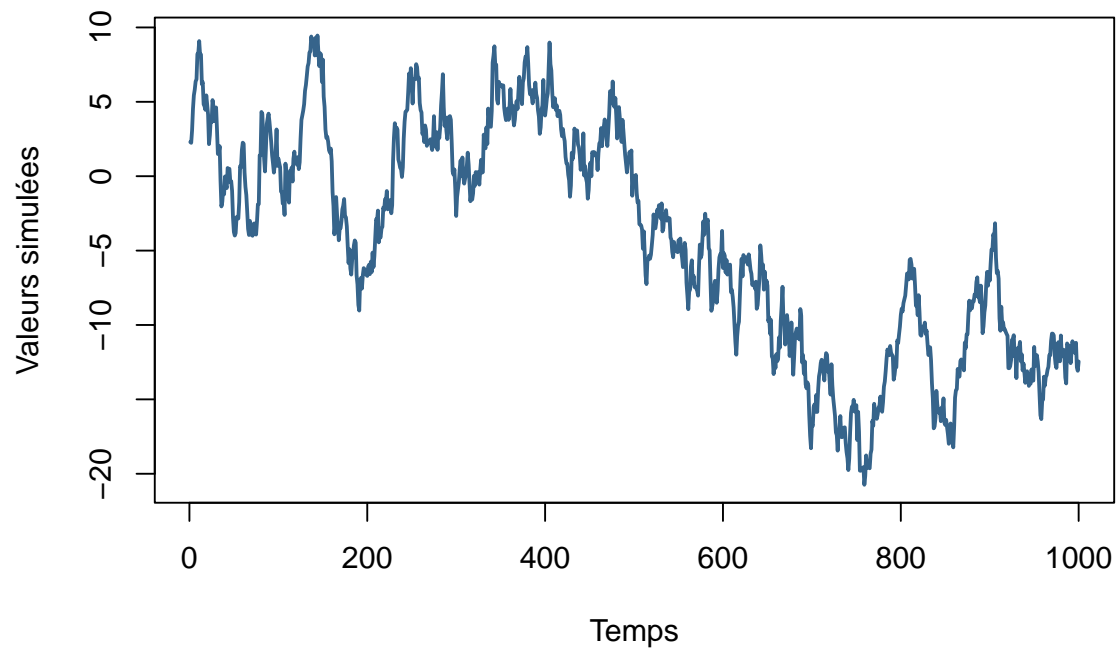
L'acf (acf=fonction d'autocorrélation) empirique doit être proche de l'acf théorique si T est grand (estimateur consistant). L'acf montre l'existence d'une dépendance entre les valeurs successives, X_t et X_{t+h} sont non corrélées si $h > 1$. Les bornes de l'intervalle bleu sont égales à $\pm 1.96/T^{0.5}$. Pour un bruit blanc, on doit avoir l'acf empirique dans l'intervalle bleu avec un proba de 95%. On retrouve que $\hat{\rho}(1)$ est (significativement) plus grand que ce qu'on attend pour un bruit blanc.

2.1.2 Simulation d'une marche aléatoire :

$$B_t = B_{t-1} + \epsilon_t \text{ avec } \epsilon_t \sim \mathcal{N}(0, 1)$$

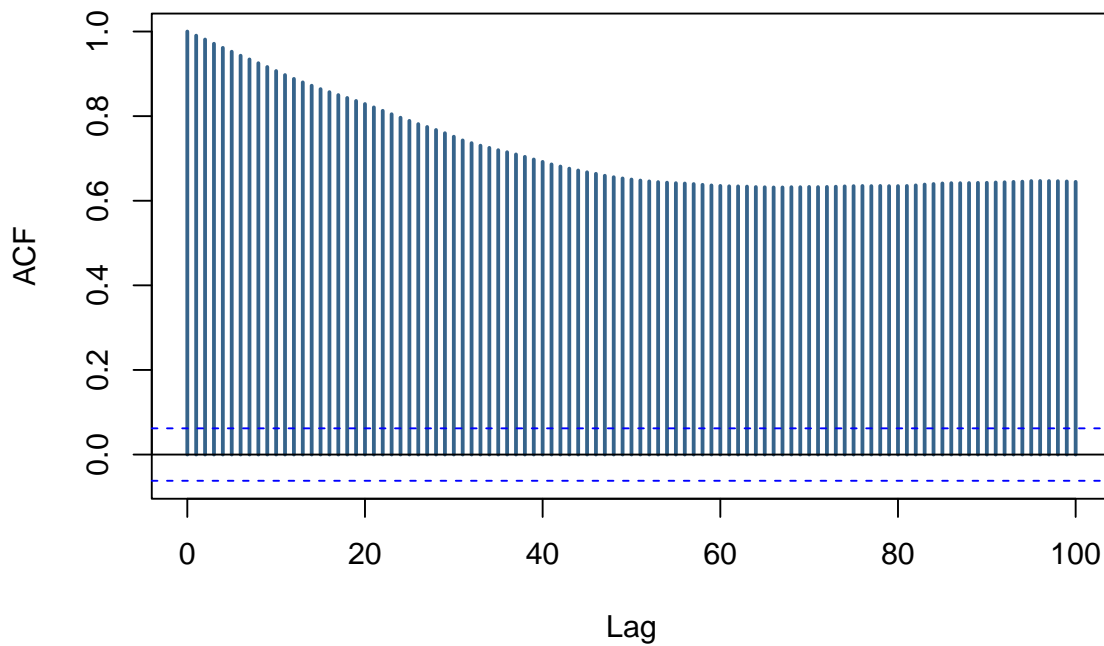
```
sig = 1
tau = 1
Time = 1000
eps = rnorm(Time, sd = sig) #bruit blanc
B = rnorm(1, sd = tau) + cumsum(eps[1:Time]) #alternative : boucle
plot(
  B,
  type = 'l',
  main = 'Simulation d\'une marche aléatoire',
  ylab = 'Valeurs simulées',
  xlab = 'Temps',
  col = palette_couleur[1],
  lwd = 2
)
```

Simulation d'une marche aléatoire



```
acf(  
  B,  
  lag.max = 100,  
  main = "Fonction autocorrélation empirique marche aléatoire",  
  col = palette_couleur[1],  
  lwd = 2  
)
```


Fonction autocorrélation empirique marche aléatoire



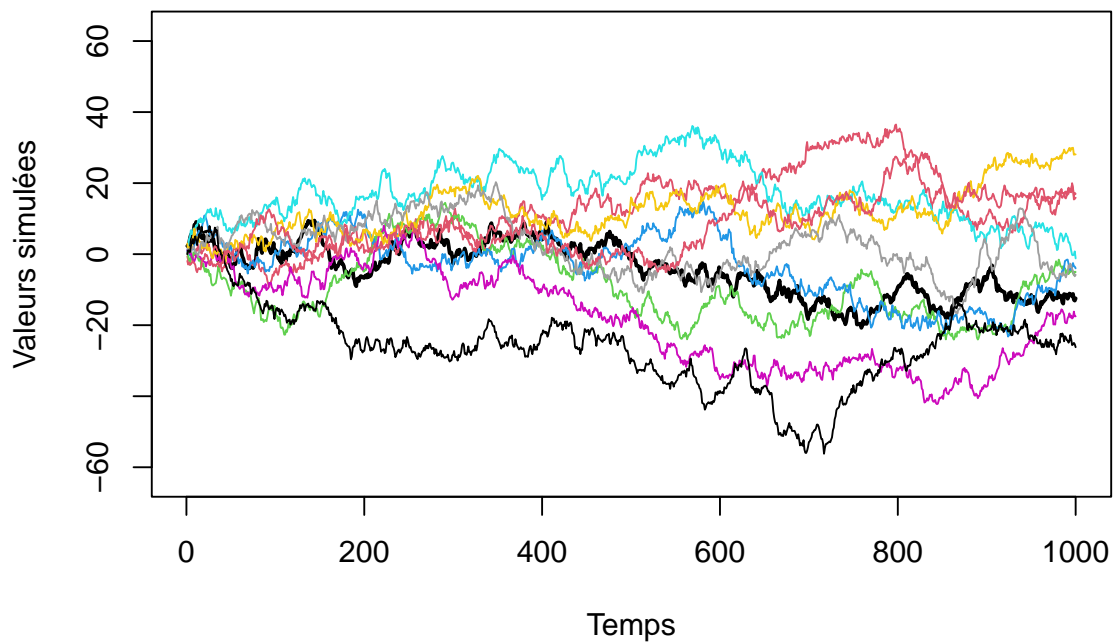
Commentaires :

Pprocessus non-stationnaire, ACF théorique pas définie, décroissance lente vers 0 de l'ACP empirique.

```
Time = 1000
plot(
  B,
  type = 'l',
  main = 'Simulation de plusieurs trajectoires de marche aléatoire',
  ylab = 'Valeurs simulées',
  xlab = 'Temps',
  col = 1,
  ylim = c(-2 * sig * sqrt(Time), 2 * sig * sqrt(Time)),
  lwd = 2
)
for (i in 2:10) {
  eps = rnorm(Time + 1, sd = sig)
  B = rnorm(1, sd = tau) + cumsum(eps[1:Time]) #on prend tau=sigma
  lines(B, col = i)
}
```

2.1.2.1 Simulation de plusieurs trajectoires de marche aléatoire :

Simulation de plusieurs trajectoires de marche aléatoire



Commentaire :

On retrouve que la variance augmente avec le temps, processus non-stationnaire

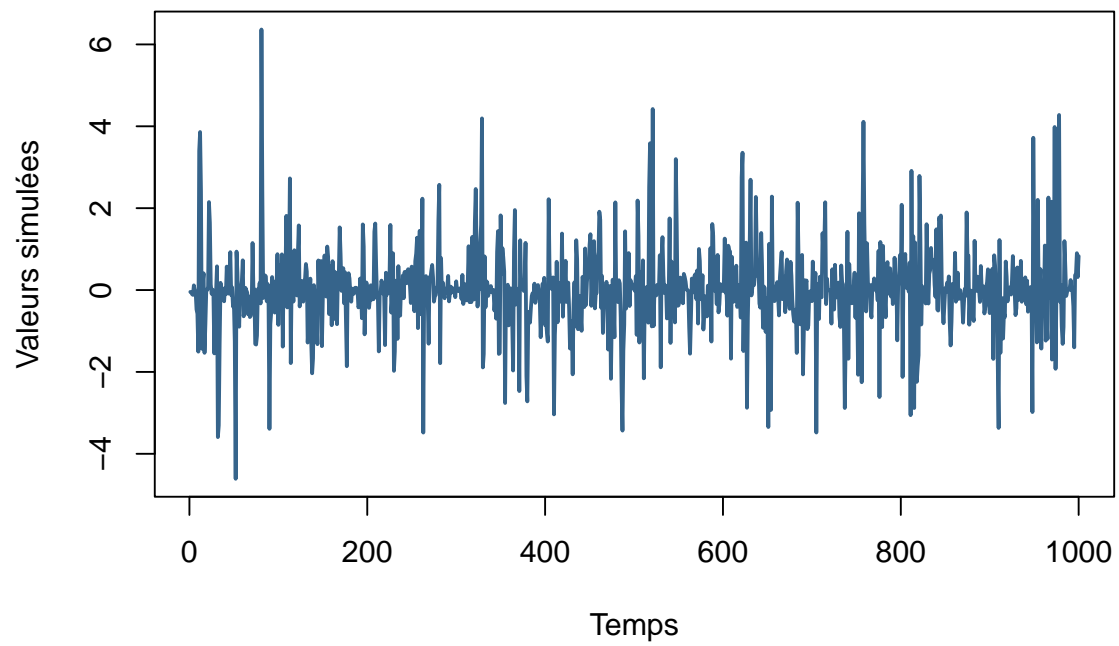
2.1.3 Simulation du troisième processus :

$$C_t = \epsilon_{t-1} \times \epsilon_t \text{ avec } \epsilon_t \sim \mathcal{N}(0, 1)$$

```
Time = 1000
sigma = 1
mu = 0
esp = rnorm(Time + 1, sd = sigma, mean = mu)
C = esp[1:Time] * esp[2:(Time + 1)]

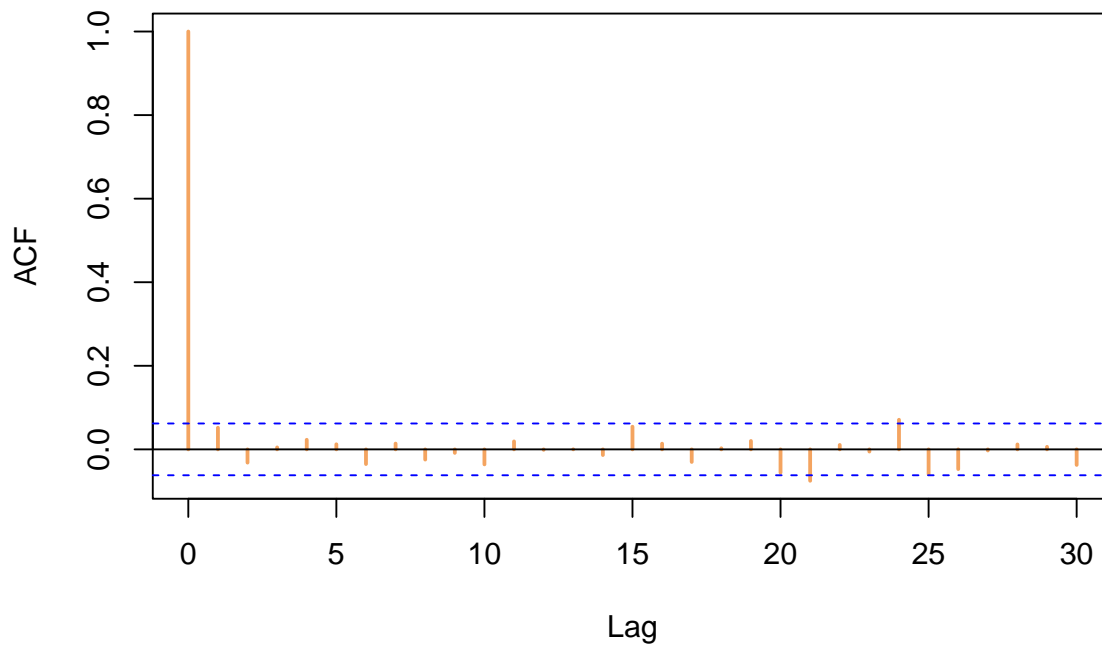
plot(C,
     main = "Simulation d'un processus C[t]",
     ylab = "Valeurs simulées",
     xlab = "Temps",
     type = "l",
     col = palette_couleur[1],
     lwd = 2)
```

Simulation d'un processus $C[t]$



```
acf(C,  
  main = "Fonction autocorrélation empirique processus C[t]",  
  col = palette_couleur[2],  
  lwd = 2)
```

Fonction autocorrélation empirique processus C[t]



2.1.3.1 Test de normalité des résidus : On peut tester la normalité des résidus avec le test de Shapiro-Wilk.

Le test de shapiro test l'existence de normalité des résidus.

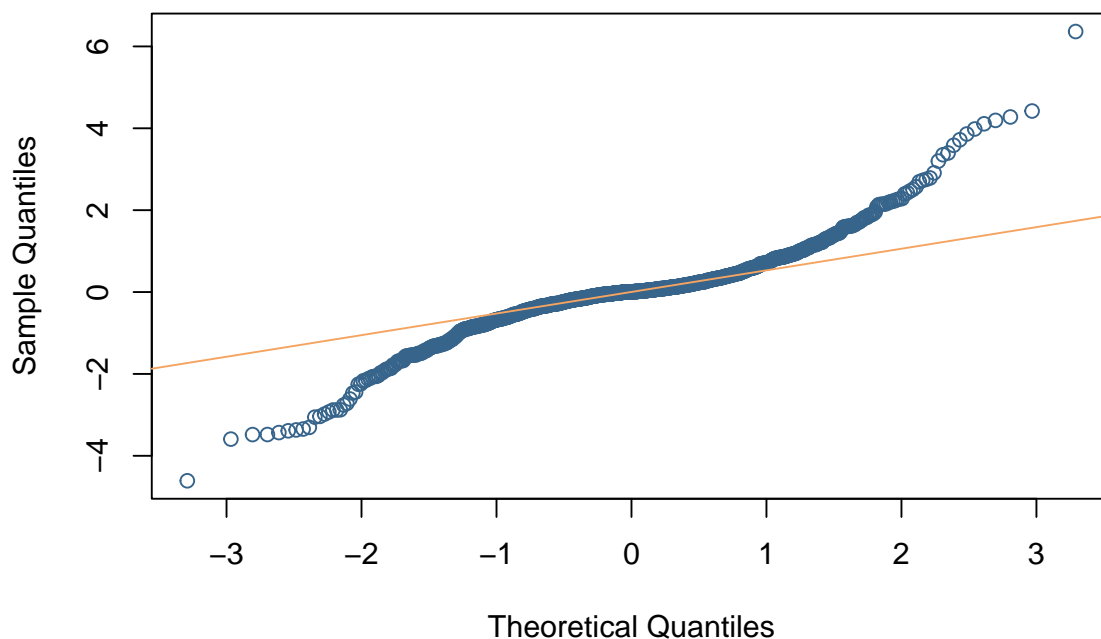
$$\begin{cases} H_0 : \text{Les résidus suivent une loi normale} \\ H_1 : \text{Les résidus ne suivent pas une loi normale} \end{cases}$$

On peut aussi tracer un QQ-plot pour vérifier la normalité des résidus.

#Etude de la distribution des valeurs simulées :

```
qqnorm(C,  
  main = "QQ-plot processus C[t]",  
  col = palette_couleur[1])  
qqline(C, col = palette_couleur[2])
```

QQ-plot processus C[t]



```
shapiro.test(C) #test de normalité des résidus
```

Shapiro-Wilk normality test

data: C

W = 0.90951, p-value < 2.2e-16

2.1.4 Simulation du processus D :

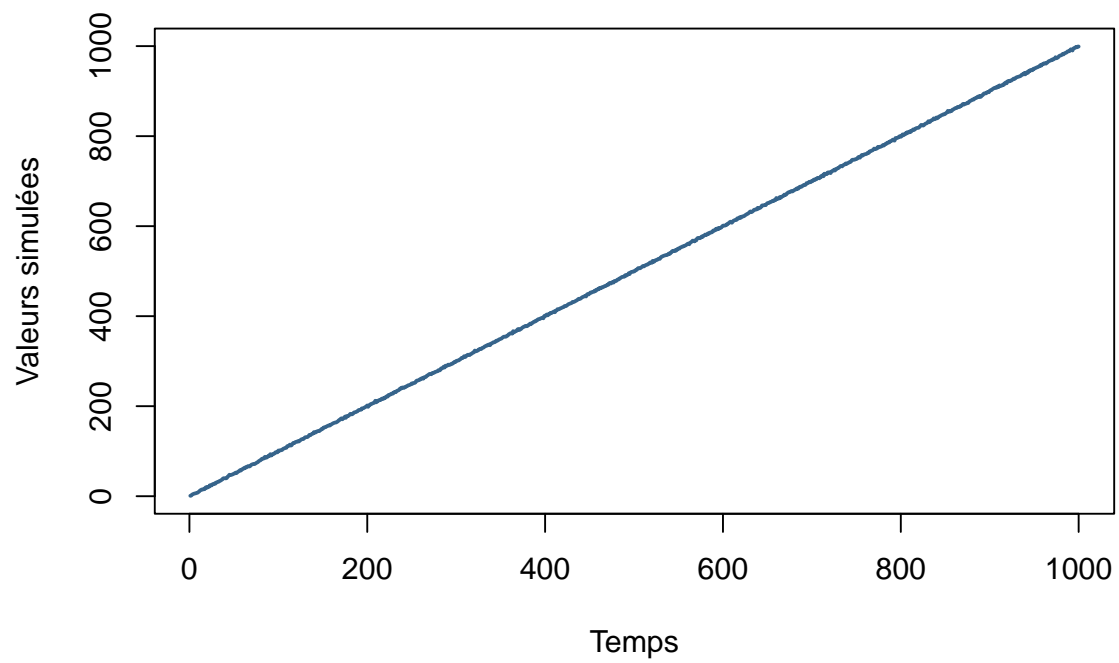
$$D_t = t + \epsilon_t \text{ avec } \epsilon_t \sim \mathcal{N}(0, 1)$$

```
sigma = 1
Time = 1000
esp = rnorm(Time, sd = sigma)

D = 1:Time + esp[1:Time]

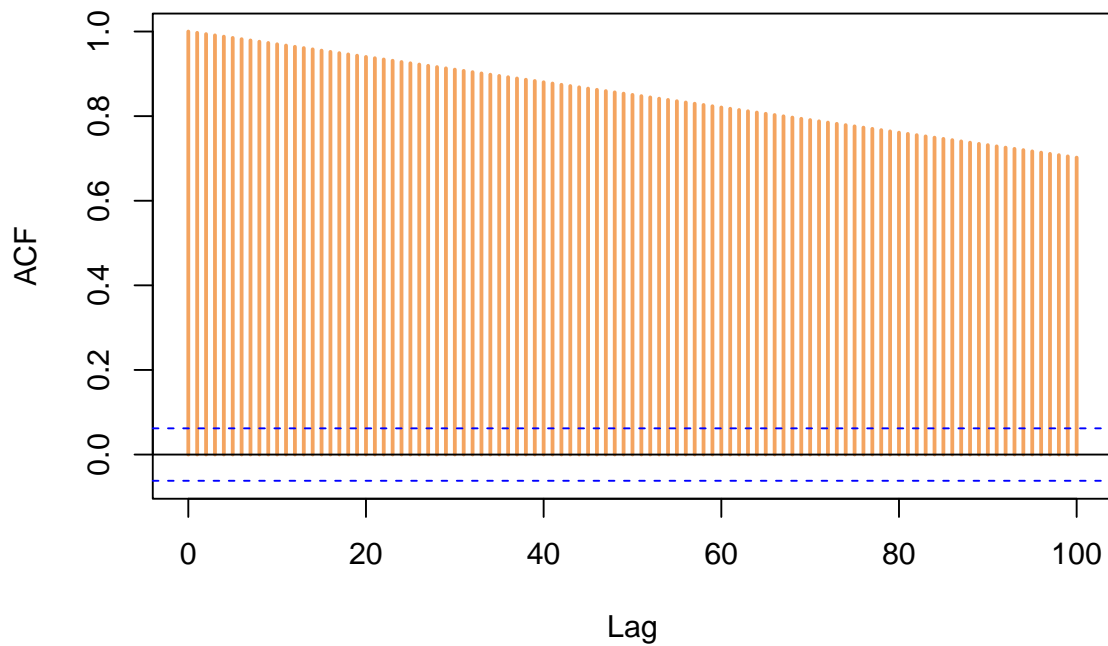
plot(D,
     main = "Simulation d'un processus D[t]",
     ylab = "Valeurs simulées",
     xlab = "Temps",
     type = "l",
     col = palette_couleur[1],
     lwd = 2)
```

Simulation d'un processus D[t]



```
acf(D,  
  main = "Fonction autocorrélation empirique processus D[t]",  
  col = palette_couleur[2],  
  lwd = 2,  
  lag.max = 100)
```

Fonction autocorrélation empirique processus D[t]



Commentaires :

Le processus n'est pas stationnaire, il y a une tendance dans la variance.

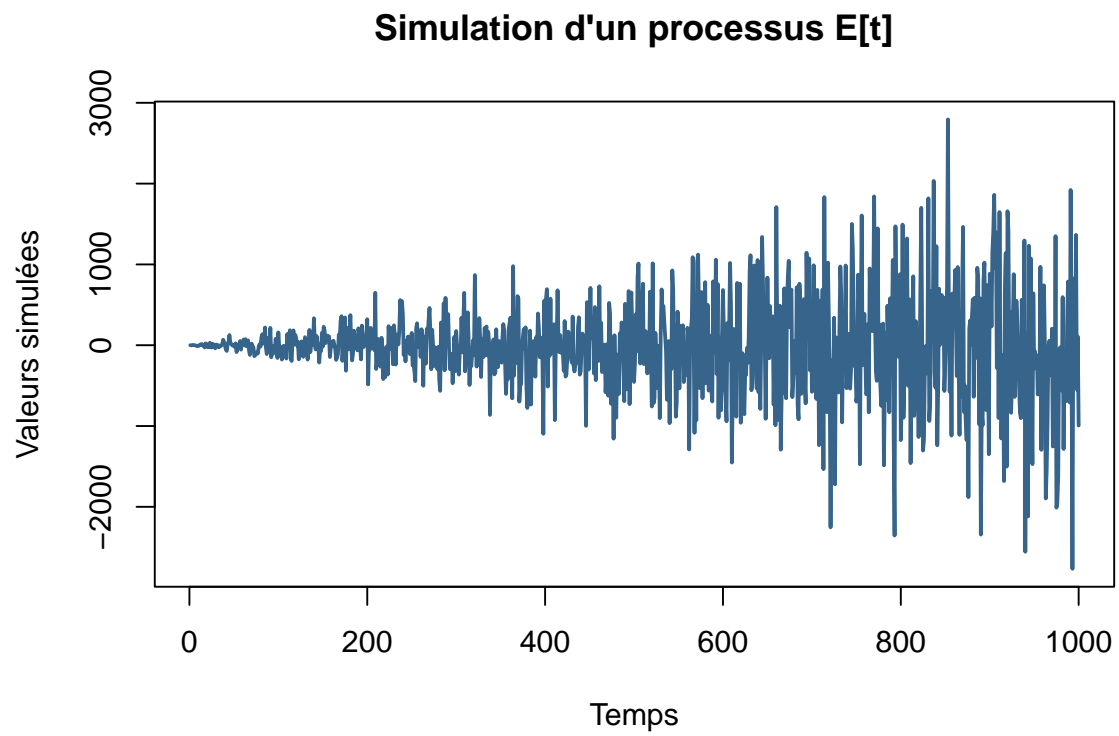
En considérant $t \in \mathbb{R}$ fixé on peut dire que le processus est gaussien.

2.1.5 Simulation du processus E :

$$E_t = t \times \epsilon_t \text{ avec } \epsilon_t \sim \mathcal{N}(0, 1)$$

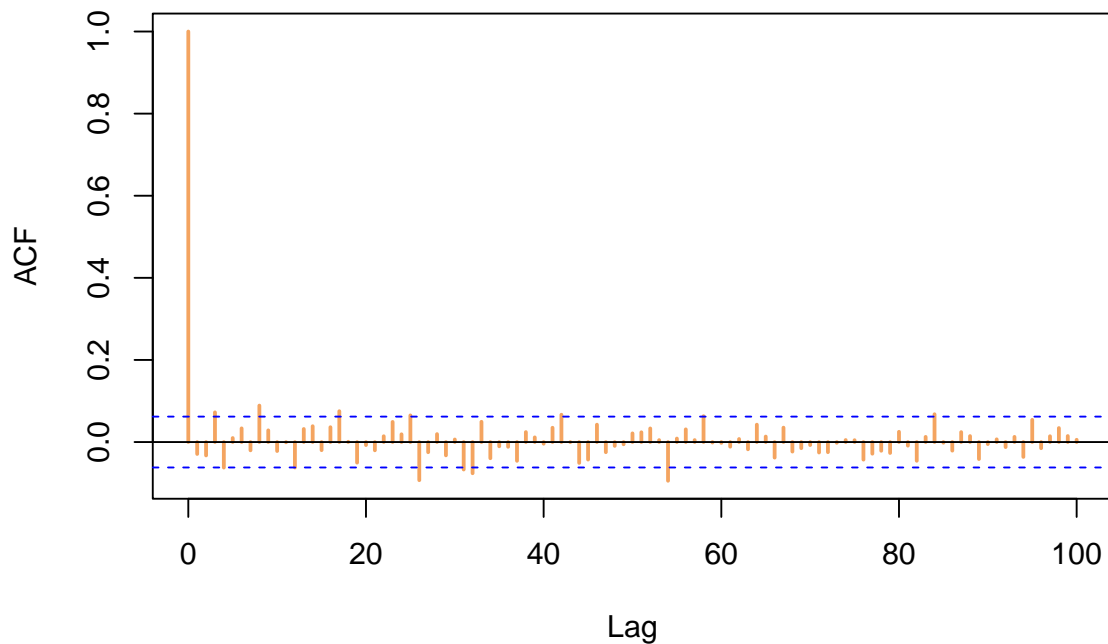
```
E = (1:Time) * esp[1:Time]

plot(E,
  main = "Simulation d'un processus E[t]",
  ylab = "Valeurs simulées",
  xlab = "Temps",
  type = "l",
  col = palette_couleur[1],
  lwd = 2)
```



```
acf(E,  
  main = "Fonction autocorrélation empirique processus  $E[t]$ ",  
  col = palette_couleur[2],  
  lwd = 2,  
  lag.max = 100)
```


Fonction autocorrélation empirique processus E[t]



Commentaire :

Le processus n'est pas stationnaire il y a une tendance dans la variance.

2.2 Exercice 2 :

$$X_t = \epsilon_t + \beta_1 * \epsilon_{t-1} + \beta_2 * \epsilon_{t-2} + \beta_3 * \epsilon_{t-3} \text{ avec } \epsilon_t \sim \mathcal{N}(0, 1) \beta_1 = 1, \beta_2 = 0.5, \beta_3 = -0.5$$

2.2.1 Fonction autocorrélation théorique :

```
# Paramètres du modèle :
beta = c(1, .5, -.5)
rho = ARMAacf(ma = beta)
# Formule théoriques :
rho_1 <- (beta[1]+beta[1]*beta[2]+beta[2]*beta[3])/(1+sum(beta^2))
rho_2 <- (beta[2]+beta[1]*beta[3])/(1+sum(beta^2))
rho_3 <- (beta[3])/(1+sum(beta^2))

# Affichage des résultats :

data.frame(
  Lag = 1:3,
  Formule = c(rho_1, rho_2, rho_3),
  Fonction = rho[2:4]
)
```

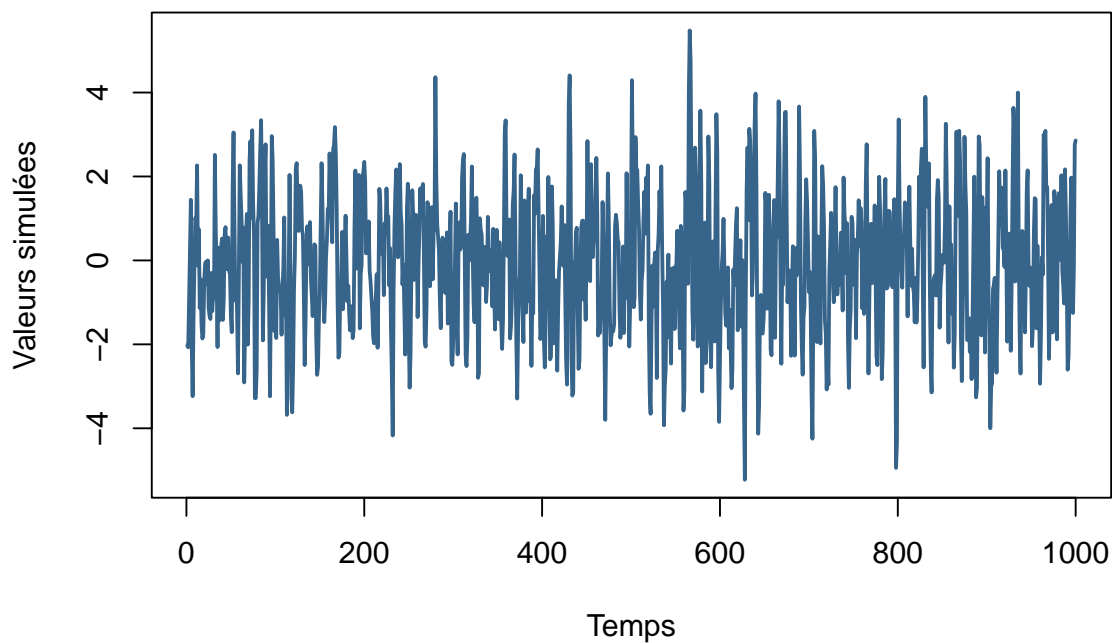
	Lag	Formule	Fonction
1	1	0.5	0.5

```
2 2 0.0 0.0
3 3 -0.2 -0.2
```

2.2.2 Simulation du processus en utilisant la fonction intégrée :

```
x = arima.sim(model = list(ma = beta), n = 1000)
plot(x,
     main = "Simulation d'un processus ARMA(3,0)",
     ylab = "Valeurs simulées",
     xlab = "Temps",
     type = "l",
     col = palette_couleur[1],
     lwd = 2)
```

Simulation d'un processus ARMA(3,0)

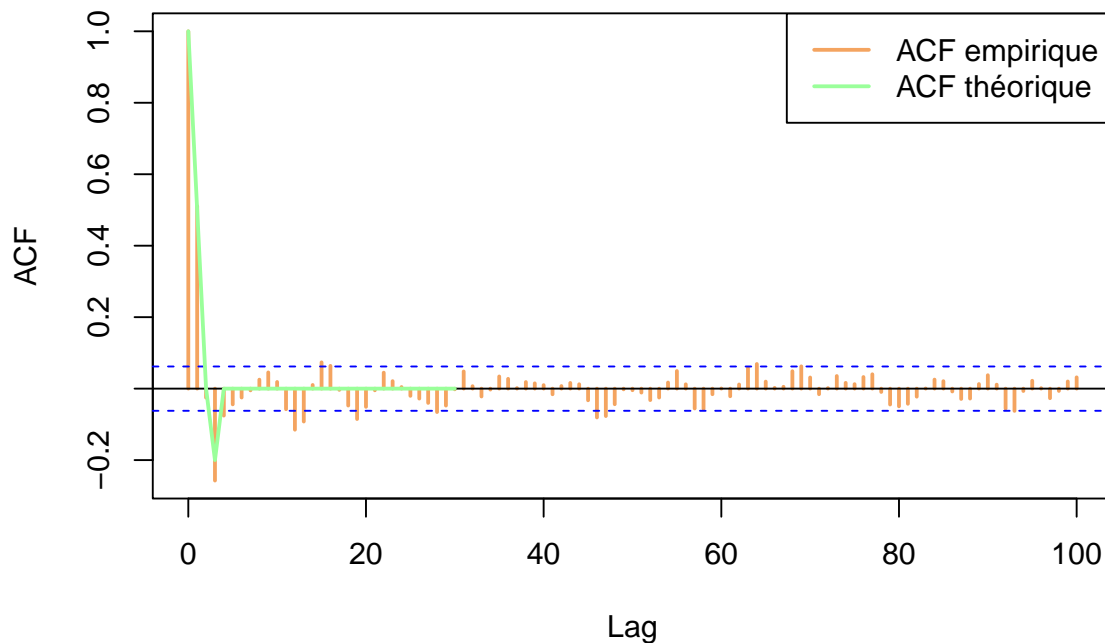


```
acf(x,
    main = "F° autocorrélation empirique processus ARMA(3,0)",
    col = palette_couleur[2],
    lwd = 2,
    lag.max = 100)

rho = ARMAacf(ma = c(1, .5, -.5), lag.max = 30)
lines(0:30, rho, col = palette_couleur[3], lwd = 2)
legend(
    'topright',
    c('ACF empirique', 'ACF théorique'),
    col = palette_couleur[2:3],
    lty = 1,
    lwd = 2)
```

)

F° autocorrélation empirique processus ARMA(3,0)



A retenir :

Pour un MA(q), on a $\rho(h)=0$ pour $h>q$.

2.3 Exercice 3 :

$$X_t = \alpha X_{t-1} + \epsilon_t \text{ avec } \epsilon_t \sim \mathcal{N}(0, 1)$$

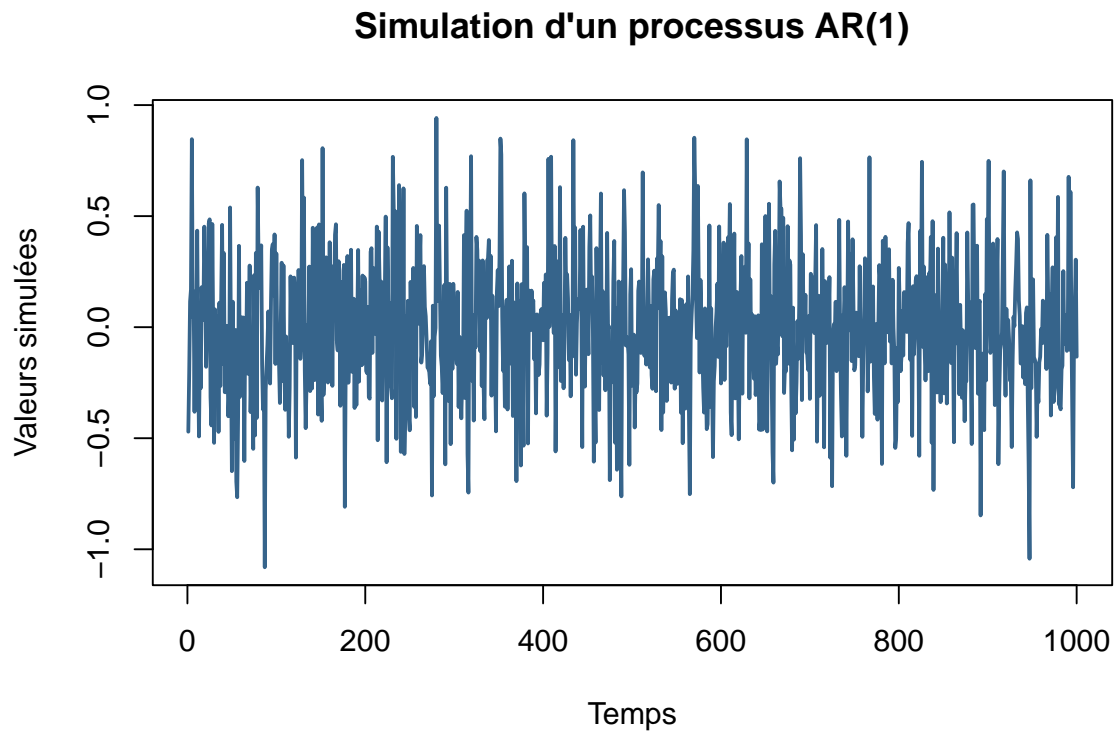
2.3.1 Fonction de simulation d'un processus Ar(1):

```
ar1 = function(alpha, sigma = 1, Time= 1000) {
  x = numeric(Time)
  x[1] = rnorm(1, sd = sqrt(sigma ^ 2 / (1 - alpha ^ 2)))
  for (t in 2:Time) {
    x[t] = alpha * x[Time- 1] + rnorm(1, sd = sigma)
  }
  return(x)
}
```

2.3.2 Simulation du processus :

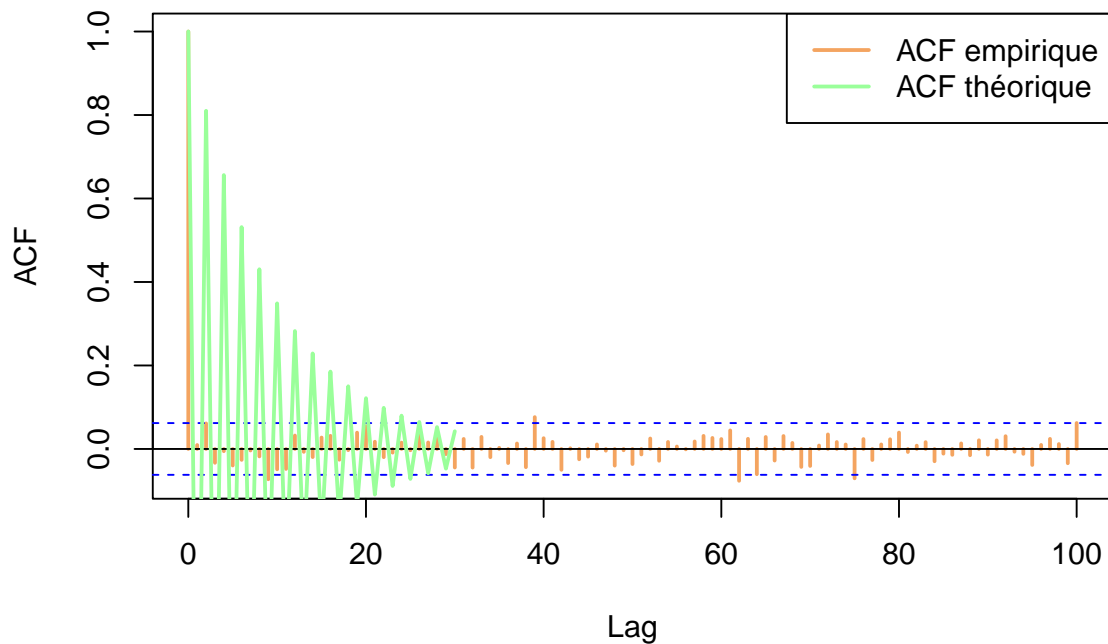
```
alpha = -0.9
# alpha = 0.9
sigma = sqrt(0.1)
Time = 1000
x = ar1(alpha, sigma, Time)
```

```
plot(x,
     main = "Simulation d'un processus AR(1)",
     ylab = "Valeurs simulées",
     xlab = "Temps",
     type = "l",
     col = palette_couleur[1],
     lwd = 2,
     xlim = c(1, Time))
```



```
acf(x,
     main = "F° autocorrélation empirique processus AR(1)",
     col = palette_couleur[2],
     lwd = 2,
     lag.max = 100)
tab = 0:30
rho = alpha ^ tab
lines(tab, rho, col = palette_couleur[3], lwd = 2)
legend(
  'topright',
  c('ACF empirique', 'ACF théorique'),
  col = palette_couleur[2:3],
  lty = 1,
  lwd = 2
)
```

F° autocorrélation empirique processus AR(1)



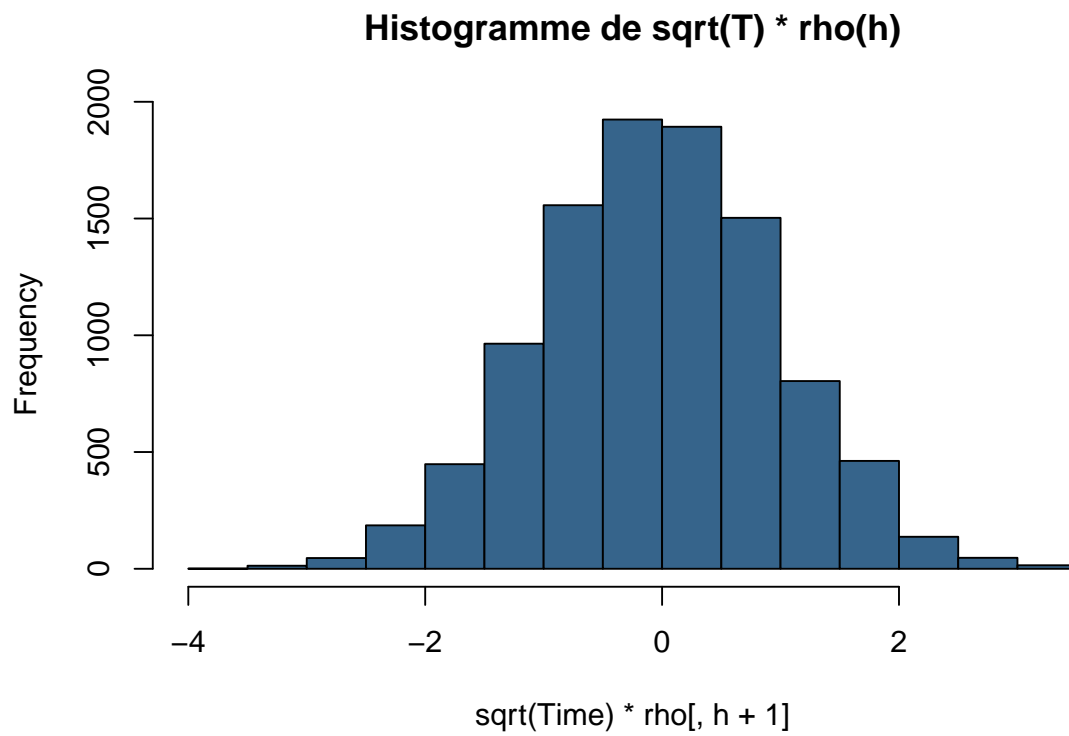
2.4 Exercice 5 :

2.4.1 Simulation du bruit blanc :

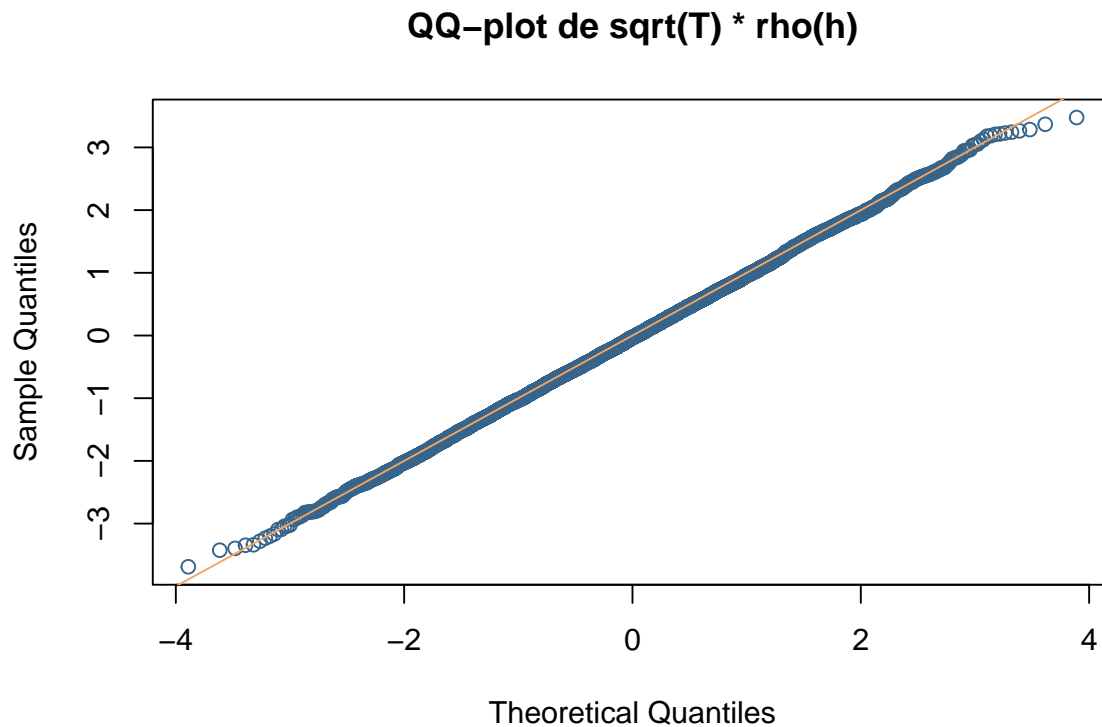
```
N = 10 ^ 4 #nombre de simulations
Time = 1000 #longueur des séries temporelles
rho = NULL
pv = NULL
for (n in 1:N) {
  #on répète l'expérience N fois
  x = rnorm(Time) #simulation d'un bruit blanc gaussien
  rho = rbind(rho, acf(x, plot = FALSE)$acf) #calcul et stockage ACF (sans tracer le graphique)
  pv = c(pv, Box.test(x, lag = 5)$p.value) #calcul et stockage p-value du test de Portmanteau
}
```

2.4.2 Vérification que $\sqrt{T} \times \hat{\rho}(h) \sim \mathcal{N}(0, 1)$:

```
h = 1
hist(sqrt(Time) * rho[, h+1], # La fonction d'autocorrélation commence à 0.
     main = "Histogramme de sqrt(T) * rho(h)",
     col = palette_couleur[1])
```



```
# Test de normalité :  
qqplot = qqnorm(sqrt(Time) * rho[, h+1],  
                 main = "QQ-plot de sqrt(T) * rho(h)",  
                 col = palette_couleur[1])  
abline(0, 1, col = palette_couleur[2])
```



Commentaire :

On peut retrouver des résultats similaires sur les autres valeurs de h .

2.4.3 L'intervalle de confiance à 95% des coefficients d'auto-corrélation :

```
nb_value <-
  sum(rho[, h + 1] > -1.96 / sqrt(Time) &
      rho[, h + 1] < 1.96 / sqrt(Time)) / N
nb_value # Très proche de 0.95 (prendre N assez grand)
```

[1] 0.9516

```
alpha = 0.05
sum(pv > 0.05) / N
```

[1] 0.9533

H0 = c'est un bruit blanc , acceptés dans + de 95% des cas

2.4.4 Vérification sur une simulation MA(1) :

```
beta = 0.9
sigma = 0.1
rho = NULL ; pv = NULL
N = 10 ^ 4
for (i in 1:N){
  eps = sigma * rnorm(Time + 1)
```

```

y = eps[2:(Time + 1)] + beta * eps[1:Time]
rho = rbind(rho, acf(y, plot = FALSE)$acf)
pv = c(pv, Box.test(y, lag = 5)$p.value)
}

```

2.4.4.1 Simulation :

2.4.5 Vérifier que $\hat{\rho}(1)$ n'est plus dans l'intervalle pour un MA(1) :

```

h = 1
nb_value = sum(rho[,h+1] > -1.96/sqrt(Time) &
               rho[,h+1] < 1.96/sqrt(Time))/N
nb_value

```

```
[1] 0
```

```

# Test du bruit blanc :
alpha = 0.05
sum(pv > alpha) / N

```

```
[1] 0
```

Commentaire :

L'intervalle de confiance n'est plus respecté pour un MA(1) (on rejette l'hypothèse de bruit blanc).

On rejette l'hypothèse de bruit blanc pour un MA(1) (on a une dépendance entre les valeurs successives).

2.4.6 Test de normalité des rendements dans la modélisation de Black-Scholes :

$$X_t = \ln\left(\frac{S_t}{S_{t-1}}\right) = \ln(S_t) - \ln(S_{t-1})$$

S_t : Prix de l'actif à l'instant t *Hypothse* : $X_t \sim \mathcal{N}(\mu, \sigma^2)$ iid

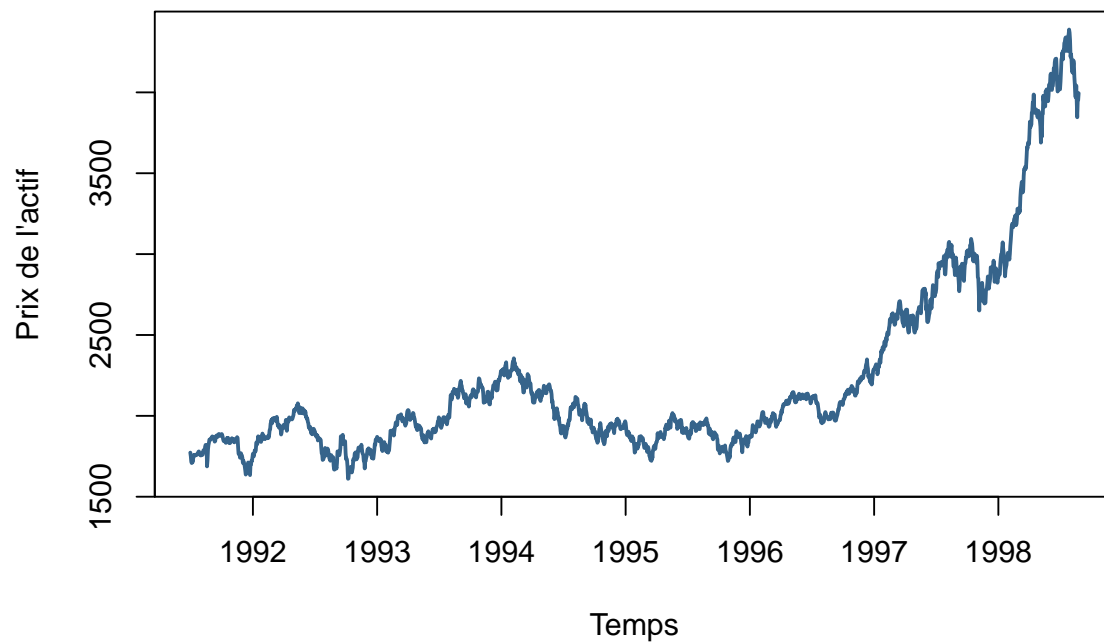
```

x = EuStockMarkets[, 3]
plot(
  x,
  main = "Evolution du prix de l'actif",
  ylab = "Prix de l'actif",
  xlab = "Temps",
  type = "l",
  col = palette_couleur[1],
  lwd = 2
)

```

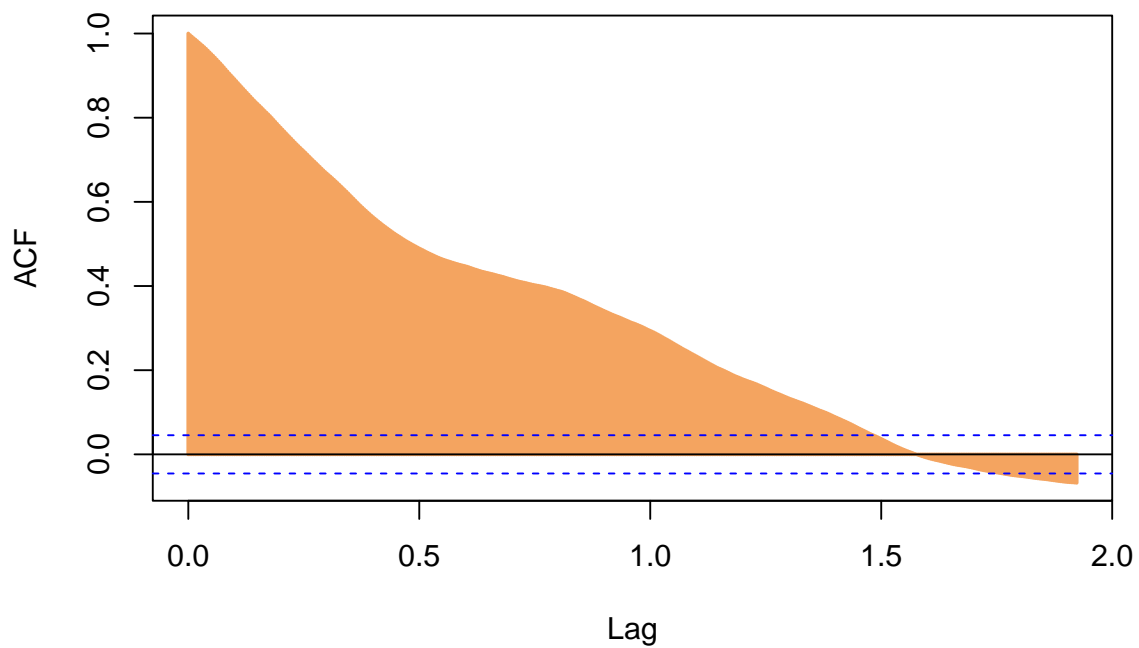
2.4.6.1 Importation et représentation graphique :

Evolution du prix de l'actif



```
acf(  
  x,  
  main = "F° autocorrélation empirique du prix de l'actif",  
  col = palette_couleur[2],  
  lwd = 2,  
  lag.max = 500  
)
```

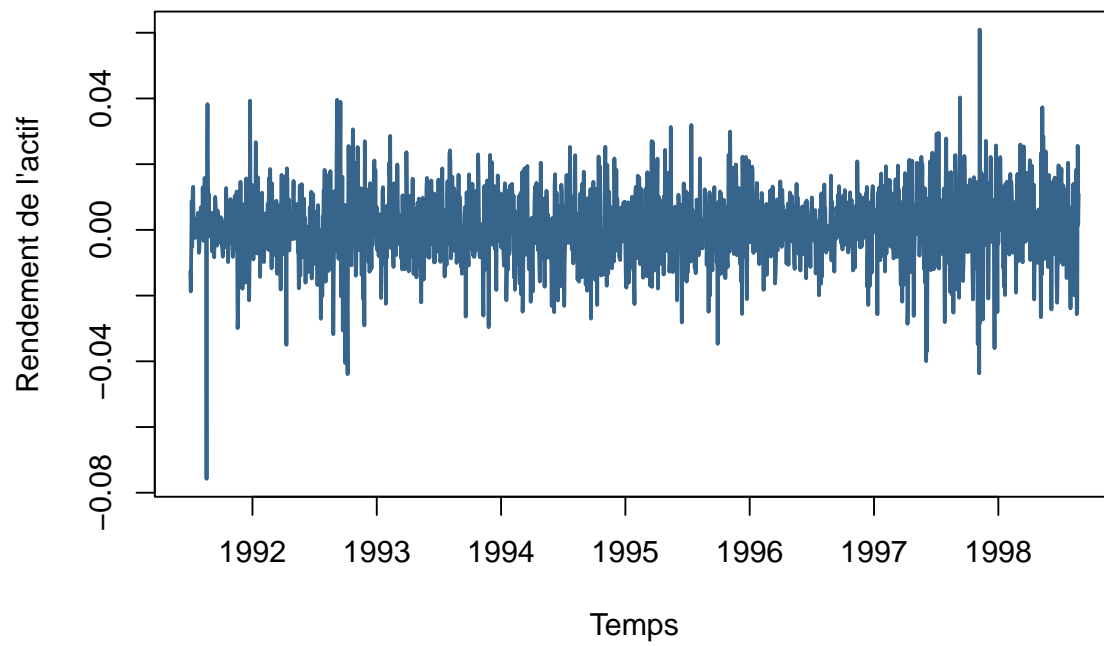
F° autocorrélation empirique du prix de l'actif



```
y = diff(log(x))
plot (
  y,
  main = "Evolution du rendement de l'actif",
  ylab = "Rendement de l'actif",
  xlab = "Temps",
  type = "l",
  col = palette_couleur[1],
  lwd = 2
)
```

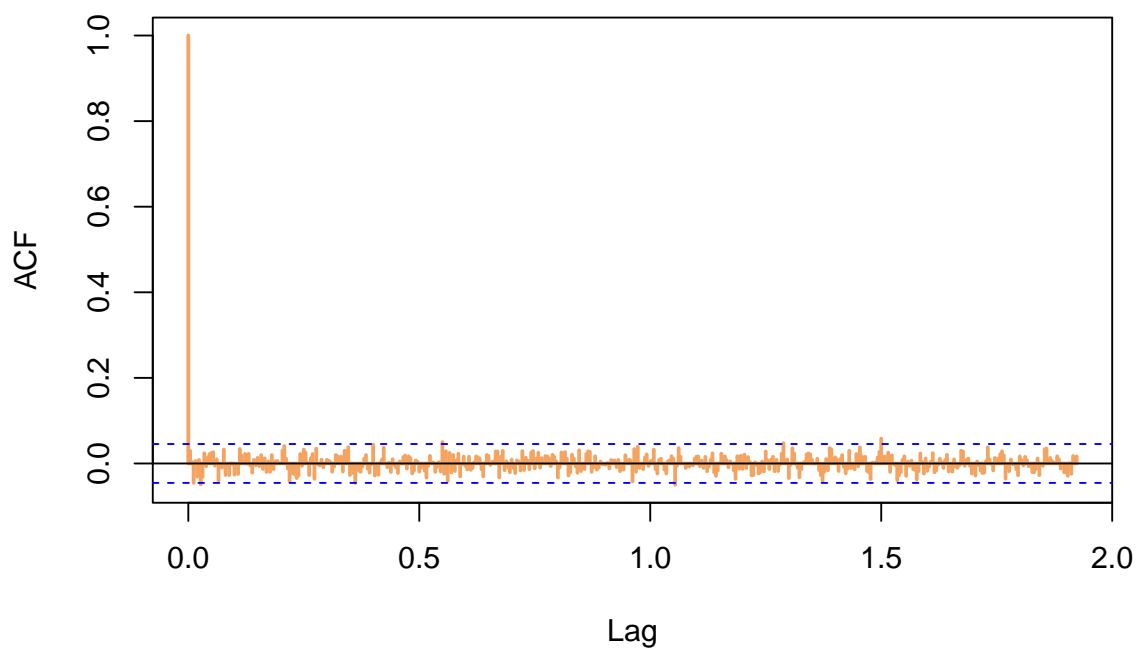
2.4.6.2 Log différenciation de l'actif :

Evolution du rendement de l'actif



```
acf(  
  y,  
  main = "F° autocorrélation empirique du rendement de l'actif",  
  col = palette_couleur[2],  
  lwd = 2,  
  lag.max = 500  
)
```

F° autocorrélation empirique du rendement de l'actif



```
Box.test(y, lag = 5) #test de Portmanteau (BB)
```

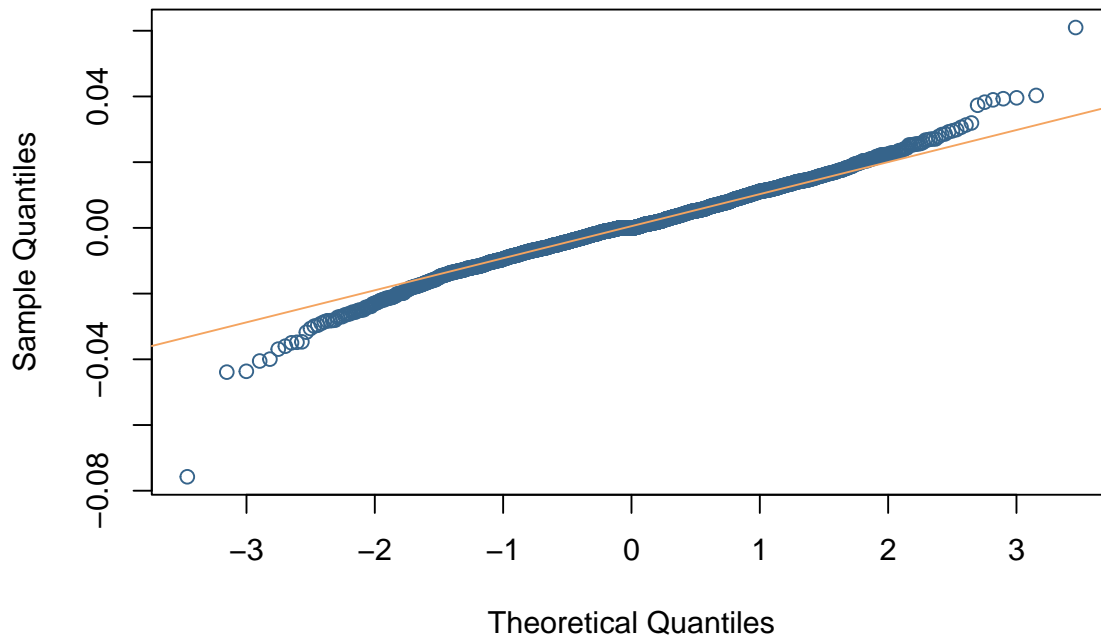
2.4.6.3 Test sur le BB et la normalité des rendements :

Box-Pierce test

```
data: y  
X-squared = 7.3488, df = 5, p-value = 0.196
```

```
qqnorm(y,  
  main = "QQ-plot des rendements de l'actif",  
  col = palette_couleur[1])  
qqline(y, col = palette_couleur[2])
```

QQ-plot des rendements de l'actif



```
shapiro.test(y) #test de normalité des rendements
```

Shapiro-Wilk normality test

data: y
W = 0.98203, p-value = 1.574e-14

Rappel :

Le test de Shapiro permet de tester l'hypothèse nulle de normalité des résidus.

$$\begin{cases} H_0 : \text{Les résidus suivent une loi normale} \\ H_1 : \text{Les résidus ne suivent pas une loi normale} \end{cases}$$

Le test de Box-Pierce permet de tester l'hypothèse nulle d'indépendance des observations d'une série temporelle.

$$\begin{cases} H_0 : \rho(1) = 0, X \text{ est un bruit blanc} \\ H_1 : \rho(1) \neq 0, X \text{ n'est pas un bruit blanc} \end{cases}$$

Dans notre cas, les log-rendements de la série temporelle ne suivent pas une loi normale mais sont des bruits blancs. C'est-à-dire que les rendements sont indépendants et identiquement distribués.

2.5 Exercice 6 :

On se base sur une modèle AR(1) :

$$X_t = \alpha X_{t-1} + \epsilon_t \text{ avec } \epsilon_t \sim \mathcal{N}(0, 1)$$

2.5.1 Créer une fonction d'estimation du maximum de vraisemblance associé à la série temporelle :

```
ar1.estim = function(x) {
  n = length(x)
  x1 = x[1:(n - 1)]
  x2 = x[2:n]
  alpha = sum(x1 * x2) / sum(x1 ^ 2)
  sigma = sqrt(sum((x2 - alpha * x1) ^ 2) / n)
  return(c(alpha, sigma))
}

# Création d'une série temporelle :
alpha = 0.9 ; sigma = 0.1 ; Time = 1000
x = arima.sim(model = list(ar = alpha), n = Time, sd = sigma)

# Fonction créée :
yf = ar1.estim(x)

# Estimation R :
y = ar(x, aic = FALSE, order.max = 1, demean = FALSE, method = "ols")

# Résultats :
data.frame(
  Explication = c("Vrai valeur", "Estimation F°", "Estimation R"),
  alpha = round(c(alpha, yf[1], y$ar[1]), 4),
  sigma = round(c(sigma, yf[2], y$var.pred[1]), 4))
```

```
      Explication  alpha  sigma
1  Vrai valeur 0.9000 0.1000
2 Estimation F° 0.9106 0.0962
3 Estimation R 0.9106 0.0093
```

2.5.2 Etude sur les estimateurs par simulation :

```
Nsimu = 10 ^ 2 ; alpha = 0.9 ; sigma = 0.1
tabT = c(20,100,1000,10000) # Différentes longueur de série

# Matrice de stockage des estimations :
alphaols = matrix(0, Nsimu, length(tabT))
sigmaols = matrix(0, Nsimu, length(tabT))
alphamle = matrix(0, Nsimu, length(tabT))
sigmamle = matrix(0, Nsimu, length(tabT))

for (i in 1:length(tabT)) {
  T = tabT[i]
  for (j in 1:Nsimu) {
    x = arima.sim(model = list(ar = alpha), sd = sigma, n = T)
    fit = ar(x, aic = FALSE, order.max = 1, demean = FALSE, method = 'ols')
    alphaols[j, i] = fit$ar
    sigmaols[j, i] = fit$var.pred
  }
}
```

```

fit = ar(x, aic = FALSE, order.max = 1, demean = FALSE, method = 'mle')
alphamle[j, i] = fit$ar
sigmamle[j, i] = fit$var.pred
}
}

```

```

# Comparaison du biais des estimateurs :
data.frame (
  Duration = tabT,
  MLE_mean = round(apply(alphamle, 2, mean),4),
  OLS_mean = round(apply(alphaols, 2, mean),4)
)

```

2.5.2.1 Comparaison en moyenne :

	Duration	MLE_mean	OLS_mean
1	20	0.8621	0.8602
2	100	0.8831	0.8805
3	1000	0.8971	0.8971
4	10000	0.9007	0.9007

Commentaire :

Au regard des moyennes l'estimateur est asymptotiquement sans biais (biais tend vers 0 lorsque T grandit)

```

data.frame(
  duration = tabT,
  MLE = round(apply(alphamle, 2, var),4),
  OLS = round(apply(alphaols, 2, var),4))

```

2.5.2.2 Comparaison de la variance des estimateurs :

	duration	MLE	OLS
1	20	0.0115	0.0140
2	100	0.0025	0.0024
3	1000	0.0002	0.0002
4	10000	0.0000	0.0000

Commentaire :

La variance des estimateurs tend vers 0 lorsque T grandit (convergence ordre 2)

```

alpha = cbind(alphaols, alphamle)
sigma = cbind(sigmaols, sigmamle)

method = cbind(matrix('ols', Nsimu, length(tabT)), matrix('mle', Nsimu, length(tabT)))

longueur = cbind(matrix(rep(tabT, Nsimu), Nsimu, length(tabT), byrow = TRUE),
  matrix(rep(tabT, Nsimu), Nsimu, length(tabT), byrow = TRUE))

```

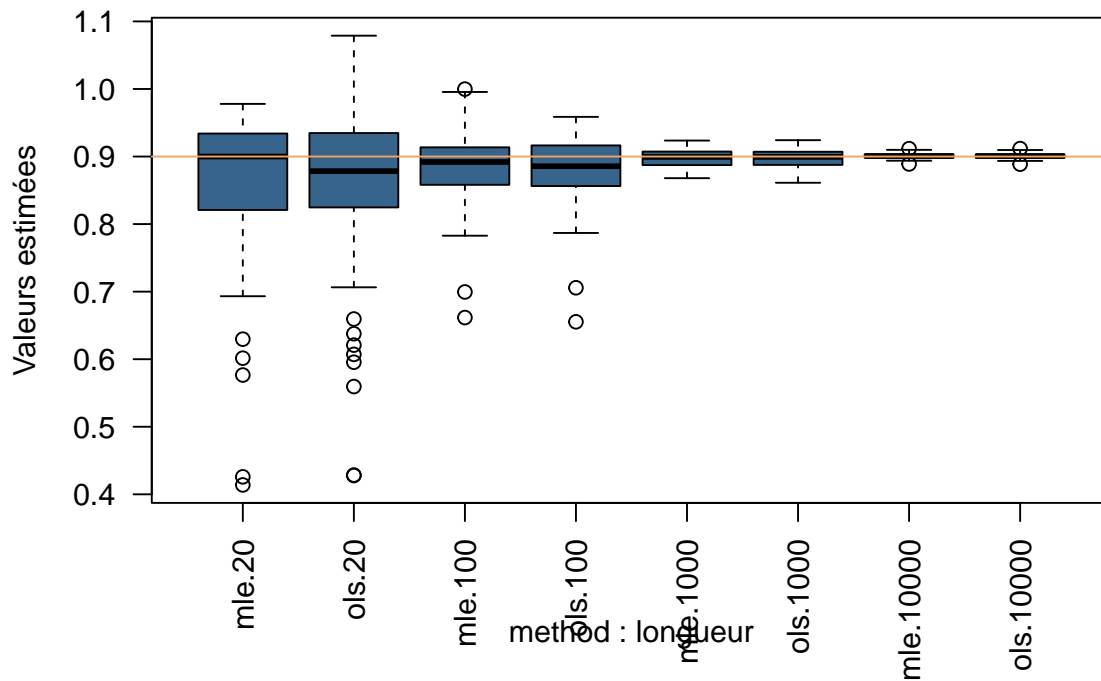
2.5.2.3 Représentation graphique boxplot :

```
boxplot(alpha ~ method + longueur, las = 2, col = palette_couleur[1],
        main = "Estimation moyenne d'alpha : méthode et longueurs différentes",
        ylab = "Valeurs estimées")

abline(h = 0.9, col = palette_couleur[2])
```

2.5.2.3.1 Estimation moyenne des alpha :

Estimation moyenne d'alpha : méthode et longueurs différentes



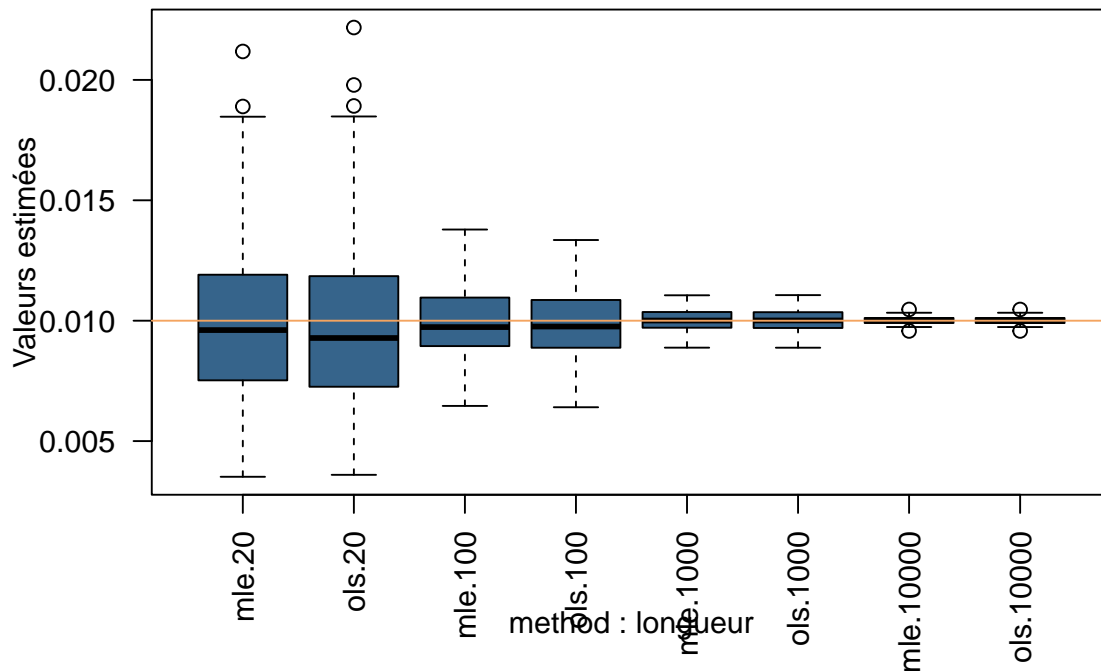
0.9 Correspond à la vraie valeur de alpha

```
boxplot(sigma ~ method + longueur, las = 2, col = palette_couleur[1],
        main = "Estimation moyenne de sigma : méthode et longueurs différentes",
        ylab = "Valeurs estimées")

abline(h = 0.1 ^ 2, col = palette_couleur[2])
```

2.5.2.4 Estimation moyenne de sigma :

Estimation moyenne de sigma : méthode et longueurs différentes



Commentaire :

Les deux méthodes (mle et ols) donnent des résultats proches. La méthode mle semble donner des résultats légèrement meilleurs pour les petits échantillons. On observe une sous-estimation pour les petites séries temporelles ($T=20$). On observe une convergence lorsque T tend vers l'infini.

2.5.3 Création d'une fonction de prédiction pour le modèle AR(1) :

Calcul de l'écart type et de la moyenne de la prédiction :

Prédiction de X_t à partir de (X_1, \dots, X_{t-h}) :

```
predictionAR1 = function(x, a, sig, hmax) {
  return(list(moy = x * a ^ (1:hmax),
             sig = sqrt(sig ^ 2 * (1 - a ^ (2 * (1:hmax))) / (1 - a ^ (2)))))
}
```

2.5.4 Simulation et prédiction : (A reprendre simplification possible dans le code)

```
alpha = 0.9 ; sig = 0.1 ; Time = 10 ^ 5
X = arima.sim(model = list(ar = alpha), sd = sig, n = Time)

moypred = NULL
sigpred = NULL
h = 1 #horizon de prévision
for (t in (h + 1):Time) {
  pred = predictionAR1(X[t - h], alpha, sig, h)
  moypred[t] = pred$moy[h]
  sigpred[t] = pred$sig[h]
}
```

```

}

IC_pr_value = sum(X > moypred - 1.96 * sigpred &
  X < moypred + 1.96 * sigpred, na.rm = TRUE) / (Time - h + 1)

cat("Pourcentage de valeur dans l'intervalle = ", round(IC_pr_value,4), "\n")

```

Pourcentage de valeur dans l'intervalle = 0.9509

2.6 Exercice 7 :

2.6.1 Trouver les racines d'un polynôme caractéristique :

```

cat("Racines du polynôme : ", polyroot(c(1, -.9, .3)), "\n")

Racines du polynôme : 1.5+1.040833i 1.5-1.040833i
cat("Module des racines : ", Mod(polyroot(c(1, -.9, .3))), "\n")

```

Module des racines : 1.825742 1.825742

Commentaire :

Proposition si le module des racines est supérieur à 1 alors le processus est stationnaire.

2.6.2 Calcul de l'ACF avec Yule-Walker à l'aide du système d'équations :

```

alpha1 = 0.1
alpha2 = -0.3
sigma = 1

mat = cbind(
  c(1, -alpha1, -alpha2, 0, 0, 0),
  c(-alpha1, 1 - alpha2, -alpha1, -alpha2, 0, 0),
  c(-alpha2, 0, 1, -alpha1, -alpha2, 0),
  c(0, 0, 0, 1, -alpha1, -alpha2),
  c(0, 0, 0, 0, 1, -alpha1),
  c(0, 0, 0, 0, 0, 1)
)
b = c(sigma ^ 2, 0, 0, 0, 0, 0)

gamma = solve(mat, b) #Fonction_autocovariance
f_autocor = gamma / gamma[1] # Fonction_autocorrélation

```

2.6.3 Simulation et comparaison sur la fonction d'autocorrélation :

```

x = arima.sim(model = list(ar = c(alpha1, alpha2)),
  sd = sigma,
  n = 10 ^ 4)

auto_cor_empi <- acf(x, lag.max = 5, plot = FALSE)$acf
auto_cor_theo <- ARMAacf(ar = c(alpha1, alpha2), lag.max = 5)
auto_cov_empi <- acf(x, lag.max = 5, type='covariance', plot=FALSE)$acf

# Affichage des résultats :

```

```
data.frame(
  Lag = 1:5,
  Yule_walker = round(f_autocor[2:6],4),
  Empirique = round(auto_cor_emi[2:6],4),
  Théorique = round(auto_cor_theo[2:6],4))
```

	Lag	Yule_walker	Empirique	Théorique
1	1	0.0769	0.0798	0.0769
2	2	-0.2923	-0.2963	-0.2923
3	3	-0.0523	-0.0582	-0.0523
4	4	0.0825	0.0759	0.0825
5	5	0.0239	0.0206	0.0239

2.6.4 Création d'une fonction d'estimation Yule-Walker pour un modèle AR(2) :

On se base uniquement sur le système d'équations prenant en compte les 3 premières valeurs de l'ACF.

```
fitYWAR2 = function(x) {
  # Afc empirique :
  gammac = acf(x, lag.max = 2, type = 'covariance',
    plot = FALSE)$acf

  # Matrice A et vecteur b :
  A = matrix(c(gammac[2], gammac[1], gammac[2], gammac[3], gammac[2],
    gammac[1], 1, 0, 0), nrow = 3)
  b = c(gammac[1], gammac[2], gammac[3])
  thetamom = solve(A, b)
  return(thetamom)
}

# Vérification :
x = arima.sim(model = list(ar = c(alpha1, alpha2)),
  sd = sigma,
  n = 10 ^ 4)
resultat_r = ar(x, AIC= FALSE, order.max = 2, method = "yule-walker")
resultat_f = fitYWAR2(x)

# Affichage des résultats :
data.frame(
  Explication = c("Vrai valeur", "Estimation F°", "Estimation R"),
  alpha1 = round(c(alpha1, resultat_f[1], resultat_r$ar[1]), 4),
  alpha2 = round(c(alpha2, resultat_f[2], resultat_r$ar[2]), 4),
  sigma = round(c(sigma, resultat_f[3], resultat_r$var.pred[1]), 4))
```

	Explication	alpha1	alpha2	sigma
1	Vrai valeur	0.1000	-0.3000	1.0000
2	Estimation F°	0.0967	-0.2992	0.9962
3	Estimation R	0.0967	-0.2992	0.9965

2.6.4.1 A reprendre ##### :

2.7 Exercice 8 : Modélisation de taux de Vasicek :

Le modèle de Vasicek est un modèle de taux d'intérêt qui est souvent utilisé pour modéliser les taux d'intérêt à court terme. Le modèle est donné par l'équation différentielle stochastique suivante :

$$dr_t = -\alpha(r_t - \mu)dt + \sigma dW_t$$

où r_t est le taux d'intérêt à l'instant t , α est la vitesse de réversion, μ est le niveau de long terme, σ est la volatilité et W_t est un mouvement brownien.

On peut montrer que si R_t est solution de l'équation différentielle stochastique ci-dessus, alors R_t est une solution de l'équation différentielle stochastique suivante :

$$R_t = R_{t-1}e^{-\alpha} + \mu(1 - e^{-\alpha}) + \sigma \int_{t-1}^t e^{-\alpha(t-s)} dW_s$$

Avec en particulier :

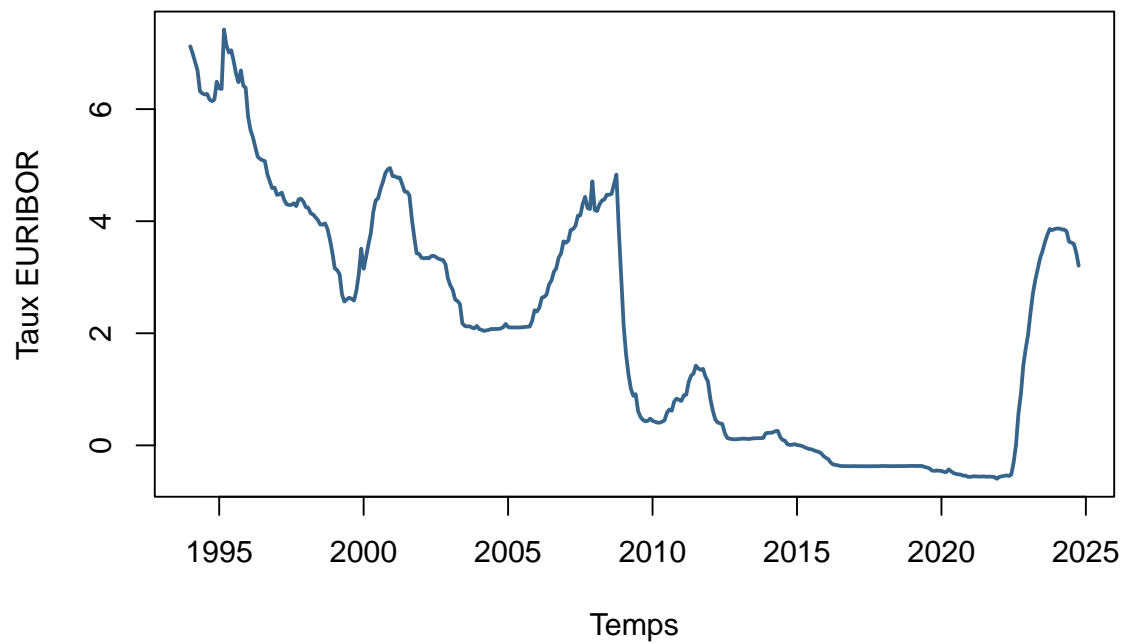
$$\int_{t-1}^t e^{-\alpha(t-s)} dW_s \approx \mathcal{N}\left(0, \frac{\sigma^2}{2\alpha}(1 - e^{-2\alpha})\right)$$

2.7.1 Création d'un objet ts avec les données EURIBOR :

```
z <- read.csv("DATA/EURIBOR.csv", header = TRUE)
x = ts(data = z[, 3],
      start = c(1994, 1),
      frequency = 12) #création d'un objet de type ts
# La fréquence est de 12 car les données sont mensuelles

plot(x, col = palette_couleur[1],
     main = "Evolution du taux EURIBOR",
     ylab = "Taux EURIBOR",
     xlab = "Temps",
     lwd = 2)
```

Evolution du taux EURIBOR

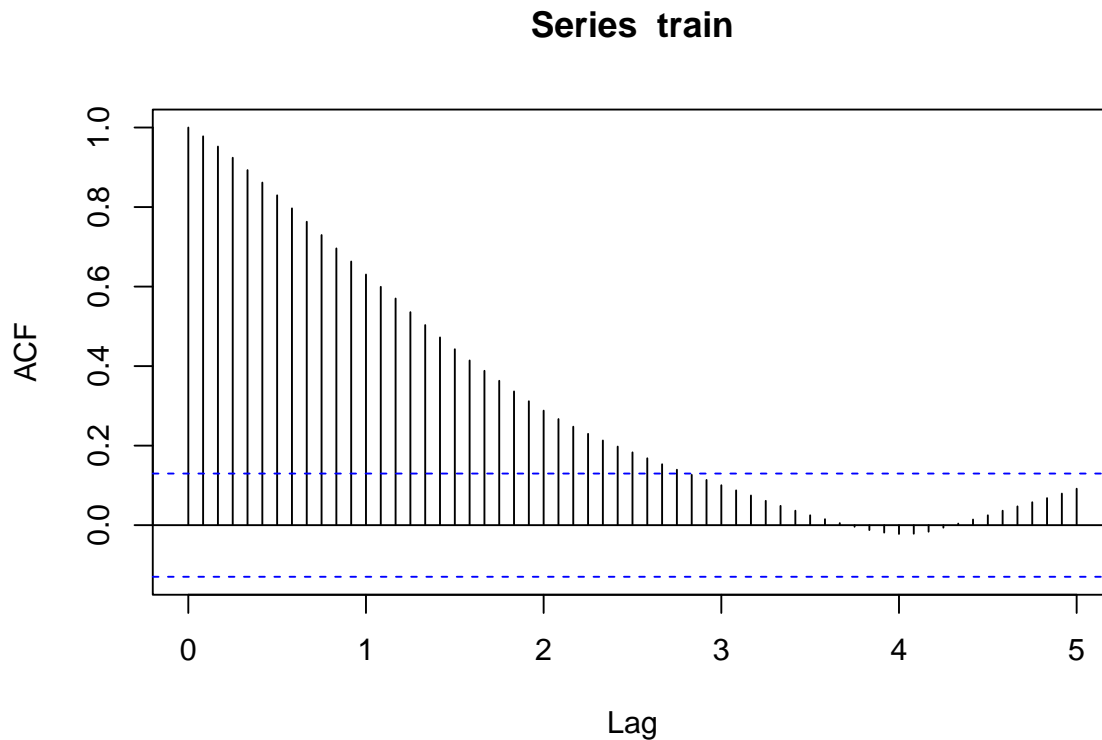


2.7.2 Séparation des données train et test :

```
train = window(x, end = 2012.999) #séquence d'apprentissage  
test = window(x, start = 2013) #séquence de test
```

2.7.3 Fonction d'autocorrélation sur la séquence d'apprentissage

```
acf(train, lag.max = 5 * 12)
```



Pour un processus AR(1), la fonction d'autocorrélation décroît à une vitesse exponentielle vers 0

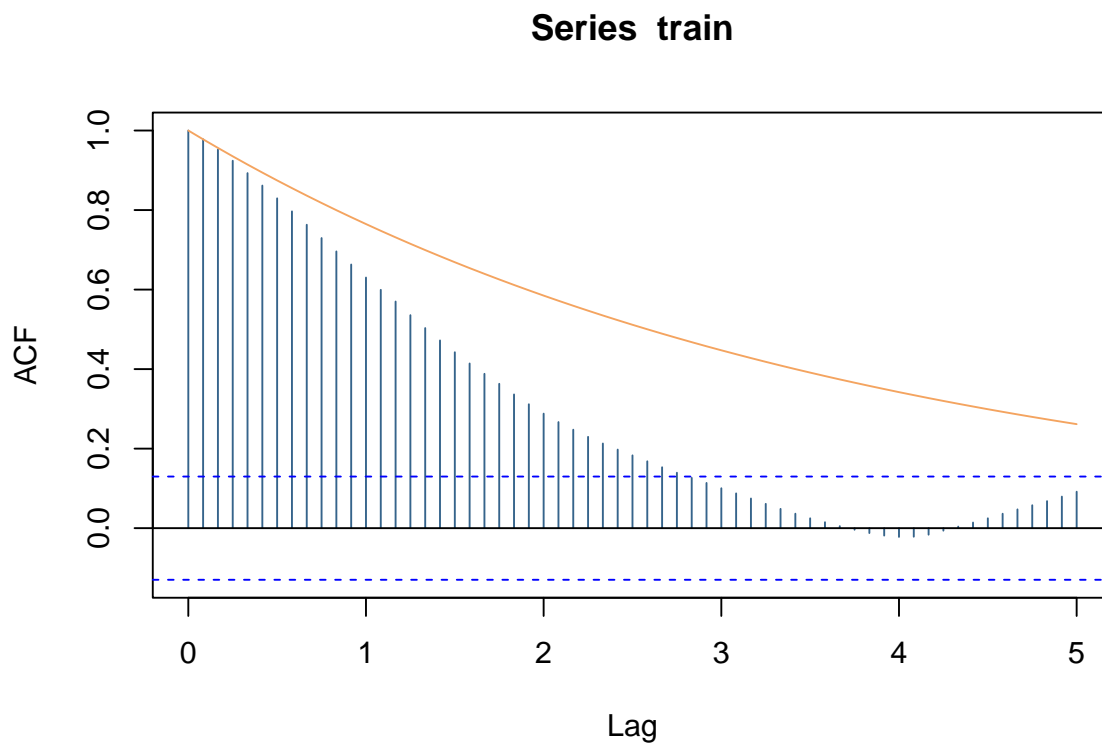
2.7.4 Ajustement d'un modèle AR(1) sur la séquence d'apprentissage :

```
fit <- ar(train, aic = FALSE, order.max = 1)
```

Commentaire : Comme la série n'est pas centrée on utilise pas l'argument dmean = FALSE. La série est alors automatiquement centrée.

```
lmax = 5 * 12 # 5 ans
ACFemp = acf(train, lag.max = lmax, col = palette_couleur[1])
acfAR = ARMAacf(ar = fit$ar, lag.max = lmax)
lines(ACFemp$lag, acfAR, col = palette_couleur[2])
```

2.7.4.1 Comparaison des ACF :

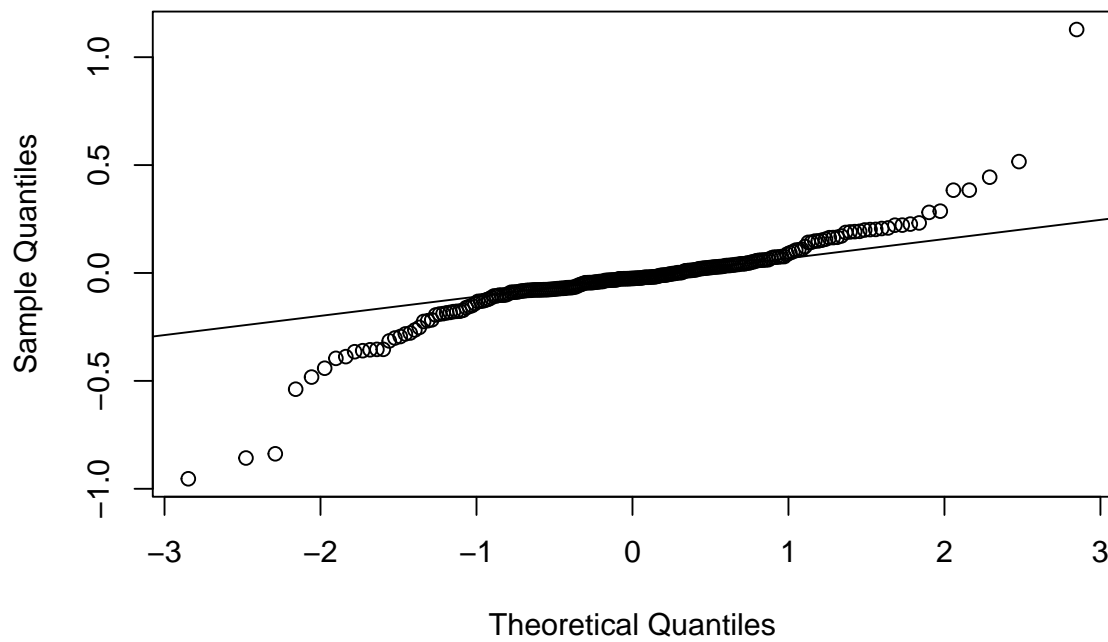


Commentaire : L'acf du modèle ajusté proche de l'acf empirique seulement pour premiers lags.

2.7.5 Test sur les résidus empiriques :

```
epsilon = fit$resid #résidu empirique renvoyé par fonction ar
epsilon = epsilon[!is.na(epsilon)]
qqnorm(epsilon) #le résidu suit-il une loi normale?
qqline(epsilon)
```

Normal Q-Q Plot



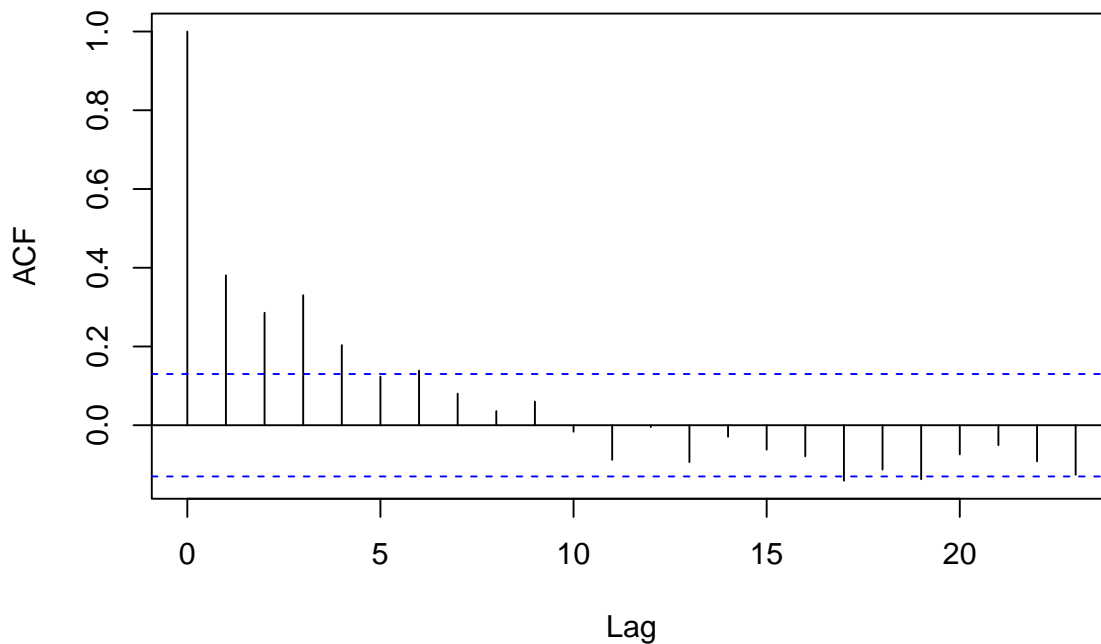
```
shapiro.test(epsilon) #on refuse l'hypothèse de Gaussianité
```

Shapiro-Wilk normality test

```
data: epsilon  
W = 0.8447, p-value = 2.474e-14
```

```
acf(epsilon) #le résidu est-il un bruit blanc?
```


Series epsilon



```
Box.test(epsilon, lag = 20) #le test de Portementeau refuse l'hypothèse de bruit blanc
```

Box-Pierce test

data: epsilon

X-squared = 115.21, df = 20, p-value = 2.22e-15

Commentaires :

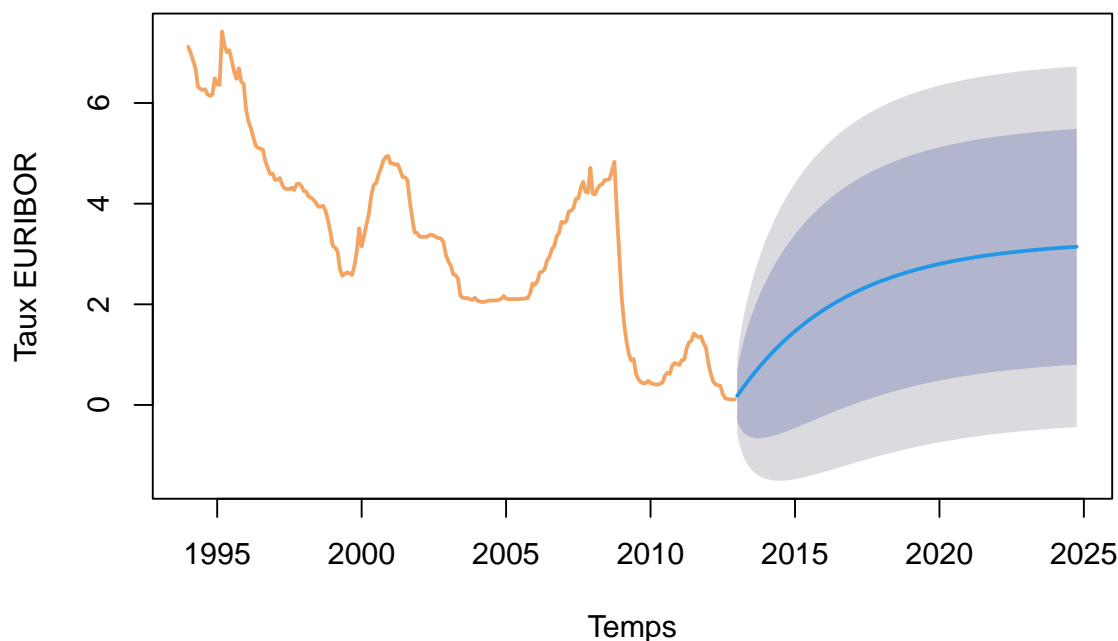
La plupart des coefficients de l'ACF empiriques ne sont pas dans l'intervalle de fluctuation en bleu, C'est une indication que le résidu n'est pas un bruit blanc. Le test de Portementeau refuse l'hypothèse de bruit blanc. Le test de Shapiro refuse l'hypothèse de normalité.

Le modèle AR(1) n'est pas valide, on pourrait tester un modèle ARMA plus complexe.

2.7.6 Prévision sur la séquence de test :

```
pm <- forecast(fit, h = length(test)) #représentation graphique
plot(pm,
      main = "Prévision du taux EURIBOR",
      ylab = "Taux EURIBOR",
      xlab = "Temps",
      col = palette_couleur[2],
      lwd = 2)
```

Prévision du taux EURIBOR



Commentaires : La prévision ponctuelle (courbe bleue) converge vers la moyenne empirique sur la séquence d'apprentissage ('retour à la moyenne'), la largeur de l'intervalle de prédiction augmente avec l'horizon de prédiction, les observations sont bien dans l'intervalle de prédiction à 95%.

2.8 Exerice 9 :

2.8.1 Calcul de l'autocovariance à partir des paramètres :

Dans un premier temps on résoud le système de telle sorte à trouver les valeurs de gamma. On résoud le problème avec seulement deux équations en isolant la valeur de gamma 2 qui dépend des valeurs de gamma 1

```
alpha = 0.8
beta = 0.5
sigma = 1
A = matrix(c(-alpha, 1, 1, -alpha), nrow = 2)
b = c(beta * sigma ^ 2,
      sigma ^ 2 * (1 + beta ^ 2 + alpha * beta))
v_gamma = solve(A, b)
v_gamma = c(v_gamma, alpha * v_gamma[2])

# Fonction auto-corrélation réelle :
dt = data.frame(theorique_r = ARMAacf(ar = alpha, ma = beta)[1:3],
                theorique = v_gamma / v_gamma[1])
round(dt, 4)
```

	theorique_r	theorique
0	1.0000	1.0000
1	0.8878	0.8878

```
2      0.7102      0.7102
```

2.8.2 Calcul de l'autocovariance par simulation :

```
x = arima.sim(model = list(ar = alpha, ma = beta), sd = sigma, n = 10 ^ 5)
acf_sim = acf(x, lag.max = 3, plot = FALSE, type = 'covariance')

dt = data.frame(simulation = acf_sim$acf[1:3],
                theorique = v_gamma )
round(dt,5)
```

```
      simulation theorique
1      5.65015    5.69444
2      5.00915    5.05556
3      3.98906    4.04444
```

2.8.3 Ajustements par la méthode des moments:

On considère que alpha est connu ainsi on peut estimer beta et sigma par la méthode des moments.~ On créer une fonction a optimiser pour obtenir les valeurs de beta et sigma.

```
f_estim_moment = function(theta, r, alpha) {
  beta = theta[1]
  sig = theta[2]
  A = matrix(c(-alpha, 1, 1, - alpha), nrow = 2)
  x = c(r[1], r[2])
  b = c(beta * sig ^ 2, sig ^ 2 * (1 + beta ^ 2 + alpha * beta))
  d = A %*% x - b
  return(sum(d ^ 2))
}
```

2.8.3.1 Fonction d'estimation des moments :

2.8.3.2 Estimation des paramètres : Dans cette fonction, on prend les valeurs simulées des covariances gamma. Ainsi on obtient la valeur d'alpha. On initialise des paramètres beta et sigma. On optimise la fonction d'estimation des moments pour obtenir les valeurs de beta et sigma.

```
fitARIMA11 = function(x) {
  acfsim = acf(x,
               lagmax = 3,
               plot = FALSE,
               type = 'covariance') #calcul de l'acf
  r = acfsim$acf[1:3]
  a = r[3] / r[2] #estimation de alpha
  theta0 = c(0, .5) #valeur initiale des paramètres
  thetaf = optim(theta0, f_estim_moment, r, a, gr=NULL)$par
  return(list(
    alpha1 = a,
    beta1 = thetaf[1],
    sigma = thetaf[2]
  ))
}

y_theo <- fitARIMA11(x)
```

```

y = arima(x,order=c(1,0,1))

dt = data.frame(
  théorique = unlist(y_theo),
  estimation = c(y$coef[1:2], y$sigma2)
)
rownames(dt) = c("alpha", "beta", "sigma")
round(dt, 4)

```

	théorique	estimation
alpha	0.7964	0.7983
beta	0.5125	0.5006
sigma	0.9971	0.9995

3 Annales :